

La vegetazione forestale dei substrati arenacei della Val d'Aso (Marche, Italia centrale)

A. Catorci¹, A. Vitanzi¹, B. Paura³, M. Iocchi² & S. Ballelli¹

¹Dipartimento di Scienze Ambientali, Sezione di Botanica ed Ecologia, Università di Camerino, via Pontoni 5, I-62032 Camerino (MC); e-mail: andrea.catorci@unicam.it

² Dipartimento di Biologia, Università degli Studi di "Roma Tre", Viale Marconi 446, 00146, Roma (RM); e-mail: marco.iocchi@gmail.com

³ Dipartimento S.A.V.A., Università degli Studi del Molise, via De Sanctis, I -86100 Campobasso (CB); e-mail: fobos@unimol.it

Abstract

The forest vegetation on the sandstone bedrock in the Val d'Aso (Marche, Italy). Results of a phytosociological study on the wood on the sandstone bedrock are here presented. The studied area is located in the southern part of Marche Region, Ascoli Piceno Province, under the influence of temperate climate (lower/higher mesotemperate and lower supratemperate bioclimatic belts). The vegetation study has been performed through 119 phytosociological relevés. All data were submitted to multivariate statistical analysis. The phytosociology analysis has permitted to characterize 6 associations, whereof 2 news: *Erico arboreae-Quercetum pubescens ericetosum arboreae* and *Hieracio murori-Ostryetum carpinifoliae hieracietosum murori*. Chorological and synecological datas were described in the paper, compared to the corresponding associations of the limestones bedrock of the neighbouring area.

Key words: multivariate analysis, plant community, phytosociology, sandstone rock, wood.

Riassunto

Vengono qui presentati i risultati di uno studio fitosociologico riguardante i boschi dei substrati arenacei localizzati nel territorio della Val d'Aso. L'area di studio è collocata nel settore meridionale della Regione Marche, in Provincia di Ascoli Piceno, caratterizzato da clima temperato (piani bioclimatici mesotemperato inferiore/superiore e supratemperato inferiore). La vegetazione è stata analizzata mediante l'esecuzione di 119 rilievi fitosociologici. I dati sono stati sottoposti ad analisi statistica multivariata. L'analisi fitosociologica ha permesso di individuare 6 syntaxa, di cui 2 di nuova segnalazione: *Erico arboreae-Quercetum pubescens ericetosum arboreae* e *Hieracio murori-Ostryetum carpinifoliae hieracietosum murori*. Per le cenosi rilevate vengono descritti gli aspetti corologici e sinecologici, confrontandoli con quelli delle corrispondenti associazioni presenti su substrati calcarei e marnoso-calcarei del territorio marchigiano limitrofo all'area di studio.

Parole chiave: analisi multivariata, bosco, fitocenosi, fitosociologia, rocce arenacee.

Introduzione

Lo studio della vegetazione forestale di un settore del sistema di paesaggio dei substrati arenacei delle Marche meridionali nasce dalla volontà di contribuire alla conoscenza di un ambito praticamente inesplorato dal punto di vista fitosociologico.

Poco numerosi sono, infatti, gli studi inerenti la vegetazione dei substrati arenacei marchigiani limitandosi sostanzialmente ai contributi di: Pedrotti (1982), Hruska (1988), Taffetani & Biondi (1993), Taffetani (2000) e Di Pietro & Tondi (2005). Al contrario, più cospicue sono le pubblicazioni che riguardano i boschi temperati dei substrati calcarei e calcareo-marnosi, come quelli di Ballelli *et al.* (1982), Ubaldi e Speranza (1982), Ubaldi *et al.* (1987), Ubaldi (1988 e 1993), Catorci & Orsomando (2001), Allegrezza *et al.* (2002), Allegrezza (2003), Biondi *et al.* (2002, 2003 e 2004), Catorci *et al.* (2003), Taffetani (2004) e Paura & Cutini (2006).

L'insieme di questi studi ha permesso di inquadrare

la vegetazione forestale collinare marchigiana nell'alleanza *Carpinion orientalis*, con la suballeanza *Lauro nobilis-Quercenion pubescens*, limitata al Piano Mesotemperato inferiore, mentre il *Laburno anagyroidis-Ostryetum carpinifoliae* e il *Cytiso sessilifolii-Quercenion pubescens* sono distribuiti prevalentemente nel Piano Mesotemperato superiore. Sia nel Piano Mesotemperato inferiore che nel Mesotemperato superiore, i boschi del *Carpinion orientalis* sono vicariati, in corrispondenza delle situazioni topografiche più xeriche, dalle comunità vegetali di sclerofille sempreverdi del *Fraxino ornithocarpion ilicis*.

Il Piano Supratemperato inferiore è caratterizzato, invece, dalla distribuzione delle alleanze *Geranio versicoloris-Fagion sylvaticae* ed *Erytrion dentiscanis-Carpinion betuli*, mentre quello Supratemperato superiore dal *Aremonio-Fagion sylvaticae*. In corrispondenza dei valloni ricadenti in entrambi i piani bioclimatici montani sono diffuse, infine, le formazioni di forra del *Tilio-Acerion*.

Area di studio

L'area di studio ricade nella porzione meridionale della Regione Marche e, più precisamente, nel settore centro-occidentale della Provincia di Ascoli Piceno. Si tratta di un complesso collinare che si estende ai piedi del versante sud-orientale dei Monti Sibillini (rientrando parzialmente nell'omonimo Parco Nazionale) e si protende verso oriente, in direzione del Mare Adriatico (Fig. 1), comprendendo il Bacino idrografico del Fiume Aso e parte di quelli del Fiume Tenna e del Fiume Tronto.

Per quanto riguarda gli aspetti altitudinali l'area si estende da 250 a 1494 m (Monte Ceresa), con un dislivello complessivo di 1250 m circa.

Dal punto di vista geologico questo territorio è caratterizzato da depositi arenacei (Formazione della Laga) e depositi arenaceo-pelitici con potenti bancate arenacee che costituiscono i "top" dei rilievi collinari (Regione Marche, 1991). Si tratta di substrati rocciosi caratterizzati da scarsa permeabilità, che in corrispondenza dell'affioramento delle arenarie pure danno origine a morfologie molto aspre, mentre laddove le arenarie si presentano alternate a peliti originano forme asimmetriche, con il versante a franapoggio (in corrispondenza del quale affiora lo strato di arenaria) molto lungo e poco acclive e quello a reggipoggio breve

e ripido, talvolta con presenza di notevoli balze rocciose e forme morfologiche tipo cuesta (Regione Marche, 1991).

I suoli che ricoprono questo territorio sono caratterizzati da: forte desaturazione, basso contenuto in calcio attivo, pH inferiore a 6, tessitura sabbiosa o sabbioso-argillosa e profondità da moderata a media (I.P.L.A., 2001; ASSAM, 2006).

Per l'inquadramento bioclimatico sono stati presi in considerazione i dati termo-pluviometrici delle stazioni di Ascoli Piceno (136 m), Servigliano (215 m) e Montemonaco (987 m), come riportato nelle Tabb. 1 e 2.

L'elaborazione dei dati termo-pluviometrici secondo gli indici di Rivas-Martinez (2004) ha permesso di attribuire le stazioni considerate al Macroclima Temperato Oceanico Semicontinentale, di cui sono riconoscibili diversi Termotipi (Mesotemperato inferiore, Mesotemperato superiore, Supratemperato inferiore) con 3 Ombrotipi distinti (Subumido inferiore, Subumido superiore e Umido superiore). Tali dati sono riportati nella Tab. 3, insieme ai valori che descrivono le caratteristiche del mesoclima definite secondo gli indici (SDS e WCS) di Mitrakos (1980 e 1982).

Sulla base dei dati sopra riportati e di quanto indicato in Biondi *et al.* (1995) e Orsomando *et al.*, (1999), l'area di studio può essere suddivisa in 3 piani bioclimatici le

cui caratteristiche principali sono indicate nella Tab. 4. Nell'elaborazione di tali parametri sono stati consultati anche i dati pluviometrici riportati da Amici & Spina (2002).

Materiali e Metodi

Lo studio della vegetazione è stato realizzato utilizzando il metodo fitosociologico della scuola sigmatista di Zurigo-Montpellier (Braun-Blanquet, 1964), integrato in base alle più recenti acquisizioni sulla sinfitosociologia e geosinfitosociologia (Géhu & Rivas-Martinez, 1981; Theurillat, 1992; Biondi, 1996; Biondi *et al.*, 2004). Sono stati eseguiti 119 rilievi in ambiente forestale e preforestale, nel periodo 2004-2005. Successivamente, la tabella dei rilievi è stata sottoposta a procedura d'analisi multivariata usando il software Syntax 2000 (Podani, 2001). I valori fitosociologici sono stati convertiti secondo la scala di Van der

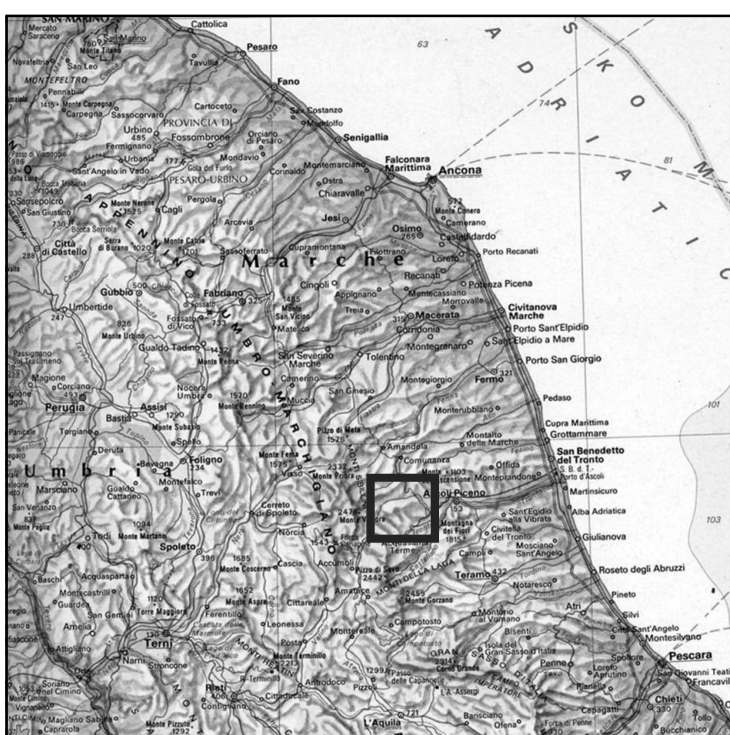


Fig. 1 – Localizzazione dell'area di studio nell'ambito del territorio umbro-marchigiano

Tab. 1- Dati relativi alle precipitazioni medie mensili ed annuali rilevate nelle stazioni di Ascoli Piceno, Servigliano e Montemonaco

PRECIPITAZIONI (MM/ANNO)	GEN	FEB	MAR	APR	MAG	GIU	LUG	AGO	SET	OTT	NOV	DIC	ANNO
ASCOLI PICENO (136M S.L.M.)	71	67	68	70	67	57	42	50	78	74	85	86	815
SERVIGLIANO (315M S.L.M.)	72	77	66	72	72	68	56	58	73	71	83	89	857
MONTEMONACO (987M S.L.M.)	106	110	97	108	104	80	60	67	101	130	143	133	1239

Tab. 2 - Temperature medie mensili e annuali delle stazioni di Ascoli Piceno, Servigliano e Montemonaco

TEMPERATUR E MENSILI	ASCOLI PICENO (136M S.L.M.)			SERVIGLIANO (215M S.L.M.)			MONTEMONACO (987M S.L.M.)		
	T max	T min	Tmedia	T max	T min	Tmedia	T max	T min	Tmedia
Gen	10.7	1.5	6.1	8.2	1.2	4.7	4.7	-1.5	1.6
Feb	12.4	2.0	7.2	10.00	1.6	5.8	6.4	-0.8	2.8
Mar	14.8	4.2	9.5	12.5	3.7	8.1	8.7	1.1	4.9
Apr	18.8	7.4	13.1	16.7	6.5	11.6	13.0	4.8	8.9
Mag	23.4	11.2	17.3	20.9	8.9	14.9	17.1	9.3	13.5
Giu	27.5	14.9	21.2	24.9	13.3	19.1	21.9	12.7	17.3
Lug	30.5	16.7	23.6	27.9	15.1	21.5	25.7	15.1	20.4
Ago	31.0	17.0	24.0	28.1	15.3	21.7	26.2	15.2	20.7
Set	26.6	14.6	20.6	23.6	12.4	18.0	21.4	11.8	16.6
Ott	21.7	10.9	16.3	18.5	8.9	13.7	16.2	7.6	11.9
Nov	16.5	6.5	11.5	14.0	5.8	9.9	11.0	4.0	7.5
Dic	11.7	2.9	7.3	9.5	2.3	5.9	5.7	0.3	3.0
Anno	20.5	9.2	14.8	17.9	7.9	12.9	14.9	6.6	10.8

Maarel (1979); è stata così ottenuta la matrice, composta da 236 righe (specie) e 119 colonne (rilievi), sottoposta quindi a classificazione numerica mediante l'algoritmo group average (Orloci, 1978), su matrice di somiglianza e average chord.

Successivamente è stata effettuata l'analisi delle componenti principali (PCoA) utilizzando una matrice composta dagli stessi rilievi fitosociologici, al fine di giungere a una prima determinazione delle caratteristiche sinecologiche delle comunità vegetali studiate. Con lo stesso intento è stata effettuata l'analisi dei valori di bioindicazione (Pignatti, 2005) applicati alle tabelle fitosociologiche e una PCoA utilizzando una matrice composta dai dati stazionali dei rilievi fitosociologici, come indicato da Ercole *et al.* (2005).

Per la nomenclatura floristica sono stati utilizzati Tutin *et al.* (1964-80 e 1993) e Conti *et al.* (2005). Per l'inquadramento sintassonomico delle tipologie vegetazionali individuate sono stati consultati lavori di

revisione sintassonomica della vegetazione appenninica e studi fitosociologici a carattere locale (Taffetani, 2000 e 2004; Allegrezza *et al.*, 2002; Allegrezza, 2003; Biondi *et al.* 2002 e 2004; Catorci *et al.*, 2003; Blasi *et al.*, 2004; Di Pietro & Tondi, 2005; Ballelli *et al.*, 2006).

Infine, gli spettri corologici sono stati realizzati a partire dalle “categorie corologiche” (o corotipi) di Pignatti (1982), riunite in componenti geografiche di più vasta estensione, secondo quanto indicato da Ballelli in Ballelli *et al.* (2002).

Risultati

Inquadramento fitosociologico

Il territorio indagato è risultato essere interessato da 8 diversi tipi forestali. Più in particolare, nell'intervallo altitudinale compreso fra 250 e 950-1000 m, sui versanti

Tab. 3 - Caratteristiche ed indici bioclimatici (valori medi) delle stazioni meteorologiche considerate

STAZIONE	T MED. ANNUA (°C)	P MED. ANNUA (MM)	N° MESI T MED. < 10°C	N° MESI T MIN. < 0°C	TERMOTIPO	OMBROTIPO	SDS	YCS
ASCOLI PICENO (136M S.L.M.)	14.8	815	4	0	Mesotemperato inferiore	Subumido inferiore	16	352
	12.9	857	5	0	Mesotemperato superiore	Subumido superiore	0	430
	10.8	1239	6	2	Supratemperato inferiore	Umido superiore	0	514

Tab. 4 – Principali caratteristiche dei piani bioclimatici (valori medi)

PIANO BIOCLIMATICO	INTERVALLO ALTITUDINALE	T MED. ANNUA °C	P MED. ANNUA MM	P MED ESTATE	N° MESI T MED. < 10 °C	N° MESI T MIN. < 0°C	STRESS DA ARIDITÀ N° MESI	STRESS DA FREDDO N° MESI	PERIODO VEGETATIVO (N° GIORNI T MIN>6°C)
MESOTEMPERATO INFERIORE	150-400	13-15	750-850	150 165	4-5	0	1	2-3	220-250
	400-900	11-13	850-1100	165 180	5-6	0-1	0	3-4	190-220
	900-1400	9-11	1100-1300	195 210	6-7	1-2	0	4-5	160-190

con esposizioni meridionali, sono presenti boschi a dominanza di *Quercus pubescens* (s.l.); alle stesse quote, ma con esposizione settentrionale, sono invece diffusi boschi di *Ostrya carpinifolia*, vicariati sui versanti a bassa acclività da formazioni forestali a prevalenza di *Quercus cerris* o *Castanea sativa*. Sempre sui versanti settentrionali, fra 850-900 e 1500 m di quota, vegetano, invece, boschi a dominanza di *Fagus sylvatica* subsp. *sylvatica*.

Di elevata rilevanza biogeografia sono, infine, le boscaglie di *Betula pendula*, distribuite in un intervallo altitudinale compreso tra 1200 e 1400 m.

L'analisi multivariata dei rilievi fitosociologici (Fig. 2) evidenzia due gruppi principali, che rappresentano:

I, i boschi di vario genere (quercenti di roverella, ostrieti, faggeti, castagneti e cerreti); II, le formazioni preforestali a *Populus tremula*. All'interno del gruppo I sono individuabili due sottogruppi, ognuno dei quali rappresenta una categoria fisionomico-ecologica: Gruppo Ia, boschi del Piano Bioclimatico Supratemperato inferiore a dominanza di *Fagus sylvatica* subsp. *sylvatica*; Gruppo Ib, boschi dei Piani Bioclimatici Mesotemperato inferiore/superiore costituiti da diverse specie di caducifoglie. Più in

particolare, il Gruppo Ia si suddivide in 3 sottogruppi: Sottogruppo Ia^I, comprendente i faggeti delle quote più elevate (1200-1400 m ca.); Sottogruppo Ia^{II}, con i faggeti di bassa quota (900-1200 m ca.); Sottogruppo Ia^{III}, con gli aggruppamenti a *Betula pendula*. Il Gruppo Ib è invece caratterizzato da 2 sottogruppi: Sottogruppo Ib^I, formato dai rilievi relativi ai boschi di sostituzione a prevalenza di *Castanea sativa* e ai boschi di *Quercus cerris* con *Ostrya carpinifolia*; Sottogruppo Ib^{II}, con i boschi caducifogli misti a prevalenza di *Quercus pubescens* (s.l.) e/o *Ostrya carpinifolia*.

Questi sottogruppi sono poi scomposti in due o più grappoli di rilievi, che corrispondono al livello sintassonomico di associazione e subassociazione, le quali sono di seguito definite in termini fitosociologici e descritte per quanto riguarda gli aspetti floristico-ecologici.

ROSO SEMPERVIRENTIS-QUERCETUM PUBESCENTIS
Biondi 1986
ERICETOSUM ARBOREAE Taffetani 2000
(Gruppo Ib^{II} Tab. 6, rill. 1-2, holotypus ril. 7, Tab. 10 in Taffetani, 2000)

Bosco a dominanza di *Quercus pubescens* (s.l.),

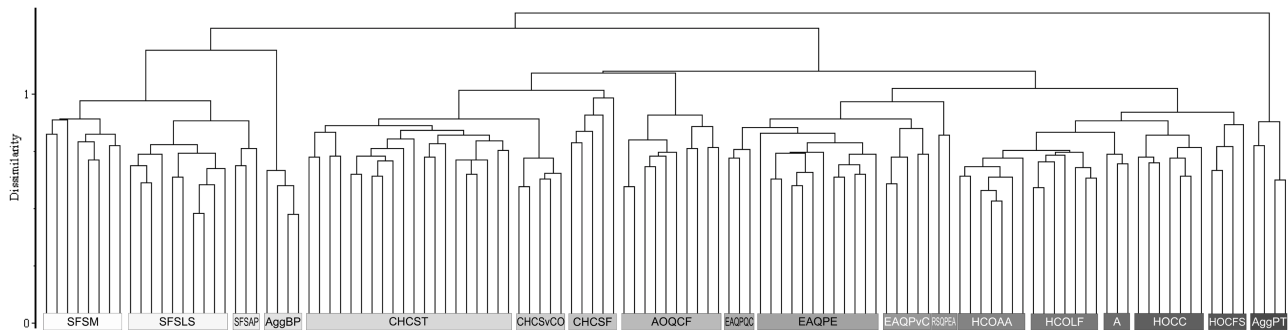


Fig. 2 – Cluster analysis dei rilievi fitosociologici relativi ai boschi studiati.

SFM – *Solidagini-Fagetum sylvaticae moheringietosum*; SFLS – *Solidagini-Fagetum sylvaticae luzuletosum sylvaticae*; SFAP – *Solidagini-Fagetum sylvaticae aceretosum pseudoplatani*; aggBP – agr. a *Betula pendula*; CHCSTS – *Cyclamino hederifolii-Castaneetum sativae teucrietosum siculi*; CHCSvCO – *Cyclamino hederifolii-Castaneetum sativae var. a Carpinus orientalis subsp. orientalis*; CHCSFS – *Cyclamino hederifolii-Castaneetum sativae fagetosum sylvaticae*; AOQCF – *Acer obtusati-Quercetosum cerridis fagetosum sylvaticae*; EAQPQC – *Erico arboreae-Quercetum pubescens querketosum cerridis*; EAQPEA – *Erico arboreae-Quercetum pubescens ericetosum arboreae*; EAQPvCS – *Erico arboreae-Quercetum pubescens var. a Cornus sanguinea*; RSQPEA – *Roso sempervirentis- Quercetum pubescens ericetosum arboreae*; HMOCAA – *Hieracium murori-Ostryetum carpinifoliae asparagetogetosum acutifolii*; HMOCLF – *Hieracium murori-Ostryetum carpinifoliae hieracietosum murori*; HMOCCB – *Hieracium murori-Ostryetum carpinifoliae carpinetosum betuli*; HMOCF – *Hieracium murori-Ostryetum carpinifoliae fagetosum sylvaticae*; aggPT – agr. a *Populus tremula*; A – rilievi effettuati in popolamenti di transizione non considerati nell'analisi fitosociologica

prevalentemente governato a ceduo matricinato, diffuso su versanti con esposizione meridionale o sud-occidentale e acclività compresa tra 10 a 40°, in una fascia altimetrica posta al di sotto di 200 m (Piano Bioclimatico Mesotemperato inferiore) che si eleva fino a 300-350 m sugli espluvi più soleggiati. La fisionomia è caratterizzata da: *Quercus pubescens* (s.l.) e *Fraxinus ornus* subsp. *ornus* tra gli alberi; *Carpinus orientalis* subsp. *orientalis*, *Erica arborea*, *Viburnum tinus* subsp. *tinus* e *Arbutus unedo* fra gli arbusti; *Viola alba* subsp. *dehnhardtii*, *Cyclamen repandum* subsp. *repandum* e *Rubia peregrina* subsp. *peregrina* negli strati erbaceo e lianoso. Si tratta di un *syntaxon* rinvenuto anche nel limitrofo Monte dell'Ascensione (Taffetani, 2000) che esprime la transizione, su substrati silicei, dei complessi forestali submediterranei a *Quercus pubescens* (s.l.) riferiti alla suballleanza *Lauro-Quercenion pubescensis* con quelli temperato-collinari del *Cytiso sessilifolii-Quercenion pubescensis* (l'area di studio include il limite interno di distribuzione del *syntaxon*).

L'analisi dei valori di bioindicazione (Tab. 5) e lo spettro corologico (Fig. 3) enfatizzano le differenze ecologiche tra questo *syntaxon* e i querceti del Piano Mesotemperato superiore. Infatti, ad una percentuale di elementi mediterranei che sfiora il 50% della composizione floristica, corrisponde un valore di T pari a 7.2 (a fronte di un valore compreso tra 6.6 e 6.2 dei querceti posti alle quote superiori, dove peraltro gli elementi mediterranei scendono a circa il 30%).

ERICO ARBOREAE-QUERCETUM PUBESCENTIS ass. nova

ERICETOSUM ARBOREAE subass. nova
(Gruppo Ib^{II} Tab. 7, rill. 4-15, *holotypus* ril. 4)
QUERCETOSUM CERRIDIS subass. nova
(Gruppo Ib^{II} Tab. 7, rill. 1-3, *holotypus* ril. 2)
var. a *CORNUS SANGUINEA*
(Gruppo Ib^{II} Tab. 7, rill. 16-20)

Bosco a dominanza di *Quercus pubescens* (s.l.), prevalentemente governato a ceduo matricinato, diffuso su versanti con esposizione meridionale (da sud-est a ovest-sud-ovest) e acclività compresa tra 20 a 40°, in una fascia altimetrica posta tra 300-350 e 850-900 m.

La fisionomia è caratterizzata da: *Quercus pubescens* (s.l.) e *Fraxinus ornus* subsp. *ornus*, con *Acer monspessulanum* subsp. *monspessulanum* subordinato tra gli alberi; *Erica arborea*, *Juniperus oxycedrus* subsp. *oxycedrus*, *Cytisus hirsutus* subsp. *polytrichus* ed *Emerus majus* (s.l.) fra gli arbusti; *Brachypodium rupestre*, *Viola alba* subsp. *dehnhardtii* e *Carex flacca* subsp. *flacca* nello strato erbaceo.

Dal punto di vista fitosociologico, il raffronto con tabelle di associazioni di querceto calcicole o tipiche dei substrati marnoso-calcarei, quali il *Cytiso sessilifolii-Quercetum pubescens* Blasi, Feoli et Avena 1982 e il *Peucedano cervariae-Quercetum pubescens* (Ubaldi et al., 1984) Ubaldi 1988, provenienti rispettivamente dalla conca nursina nell'Appennino umbro-marchigiano (Ballelli et al., 2006) e dalla fascia collinare

Tab. 5 - Valori di biondicazione (Pignatti, 2005) dei singoli *syntaxa*: L – radiazione luminosa (1-12); T – calore (1-12); C – continentalità del clima (1-9); U – umidità o disponibilità di acqua (1-12); R – reazione del suolo (1-9); N – nutrienti (1-9); S – salinità (1-3)

		L	T	C	U	R	N
Associazioni	<i>Roso sempervirentis-Quercetum pubescens ericetosum arboreae</i>	5,5	7,2	4,7	4,0	6,2	4,2
	<i>Erico arboreae-Quercetum pubescens ericetosum arboreae</i>	5,6	6,6	4,6	4,0	5,9	4,2
	<i>Erico arboreae-Quercetum pubescens quercetosum cerridis</i>	6,1	6,4	4,6	4,2	5,8	4,2
	<i>Erico arboreae-Quercetum pubescens var. a Cornus sanguinea</i>	5,6	6,2	4,8	4,4	6,2	4,6
	<i>Hieracio murorii-Ostryetum carpinifoliae hieracietosum murorii</i>	5,3	6,3	4,9	4,6	6,6	4,9
	<i>Hieracio murorii-Ostryetum carpinifoliae asparagetosum acutifolii</i>	5,4	6,6	4,6	4,2	6,1	4,4
	<i>Hieracio murorii-Ostryetum carpinifoliae carpinetosum betuli</i>	4,8	5,9	4,6	4,9	6,3	5,1
	<i>Hieracio murorii-Ostryetum carpinifoliae fagetosum sylvaticae</i>	4,9	5,6	4,6	4,7	6,2	5,0
	<i>Aceri obtusati-Quercetum cerridis fagetosum sylvaticae</i>	5,0	5,6	4,8	4,7	6,3	4,8
	<i>Cyclamino hederifolii-Castaneetum sativae teucrietosum siculi</i>	5,1	5,8	4,5	4,6	6,2	4,9
	<i>Cyclamino hederifolii-Castaneetum sativae fagetosum sylvaticae</i>	4,7	5,6	4,5	4,8	6,1	5,0
	<i>Cyclamino hederifolii-Castaneetum sativae var. a Carpinus orientalis subsp. orientalis</i>	4,8	6,0	4,6	4,7	6,2	5,3
	<i>Solidagini-Fagetum sylvaticae moehringietosum trinerviae</i>	4,4	5,0	4,7	4,9	6,1	5,3
	<i>Solidagini-Fagetum sylvaticae luzuletosum sylvaticae</i>	4,5	5,4	4,7	4,9	6,0	5,0
	<i>Solidagini-Fagetum sylvaticae aceretosum pseudoplatani</i>	4,4	5,2	4,6	5,1	6,4	5,4

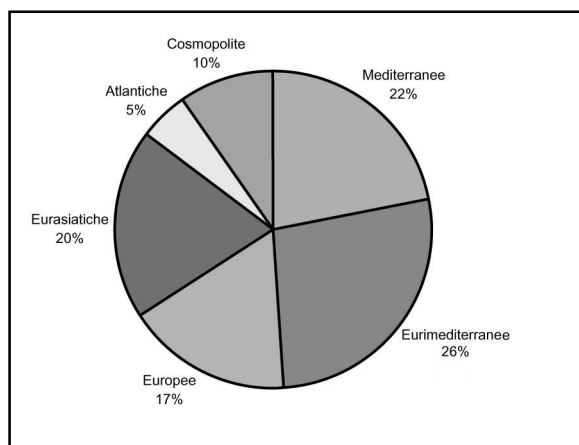


Fig. 3 – Spettro corologico del *Roso sempervirentis-Quercetum pubescens ericetosum arboreae*

preappenninica marchigiana (Allegrezza *et al.*, 2002), ha mostrato l'autonomia di questi boschi (Fig. 4). Questa evidenza, nonché le peculiari caratteristiche ecologiche e floristiche dei boschi ascolani, come la presenza di elementi acidofili del tutto assenti nei querceti carbonatici, consente la proposizione di una nuova associazione denominata *Erico arboreae-Quercetum pubescens*, per la cui subassociazione tipica (*Erico*

arboreae-Quercetum pubescens ericetosum arboreae) vengono proposte come combinazione specifica caratteristica *Erica arborea*, *Luzula forsteri*, *Teucrium siculum* subsp. *siculum*, *Ptilostemon strictus* e *Lathyrus clymenum*. Questo *syntaxon* si sviluppa tra 350-400 e 850-900 m di quota (Piano Bioclimatico Mesotemperato superiore), su esposizioni meridionali (da sud-est a ovest-sud-ovest) e inclinazione compresa fra 25 e 40°, rappresentando l'aspetto forestale edafo-xerofilo dei versanti arenacei alto-collinari.

Dal punto di vista sintassonomico la nuova associazione viene inserita nella suballeanza *Cytiso sessilifolii-Quercenion pubescens* (*Carpinion orientalis*).

Sui versanti posti tra 800 e 900-950 m di quota, su esposizioni sud-occidentali o sud-orientali e inclinazione compresa fra 20 e 35°, i querceti dell'*Erico arboreae-Quercetum pubescens* si arricchiscono di specie più mesofile e indicatrici di suolo più profondo, come *Quercus cerris*, *Castanea sativa* e *Cytisus scoparius* subsp. *scoparius*. Questa particolare connotazione floristico-ecologica permette di descrivere la nuova subassociazione *Erico arboreae-Quercetum pubescens quercetosum cerridis* differenziata da *Quercus cerris*, *Castanea sativa*, *Cytisus scoparius*.

Tab. 6 - *Roso sempervirens-Quercetum pubescens* Biondi 1986 *ericetosum arboreae* Taffetani 2000

	1	2	
Numeri rilievo	390	350	P
Altitudine (m)	SSW	SW	R
Esposizione	35	25	E
Inclinazione (°)	100	100	S
Ricoprimento (%)	200	200	
Superficie (m ²)			
<hr/>			
Specie caratt. dell'ass. <i>Roso sempervirens-Quercetum pubescens</i> e diff. della subass. <i>ericetosum arboreae</i>			
Erica arborea	1	+	2
Rubia peregrina subsp. <i>peregrina</i>	+	1	2
Lonicera etrusca	+	+	2
Smilax aspera	1	+	2
Rosa sempervirens	+	.	1
<hr/>			
Specie caratt. dell'all. <i>Carpinion orientalis</i> e diff. della suball. <i>Lauro nobilis-Quercenion pubescens</i>			
Laurus nobilis	+	3	2
Cyclamen repandum subsp. <i>repandum</i>	1	+	2
Carpinus orientalis subsp. <i>orientalis</i>	1	+	2
Emerus majus (s.l.)	+	+	2
Osyris alba	+	.	1
Colutea arborescens	.	+	1
<hr/>			
Specie trasgr. dalla classe <i>Quercetea ilicis</i>			
Viburnum tinus subsp. <i>tinus</i>	1	2	2
Viola alba subsp. <i>dehnhardtii</i>	+	+	2
Asparagus acutifolius	+	+	2
Arbutus unedo	+	+	2
Rhamnus alaternus subsp. <i>alaternus</i>	+	1	2
Ruscus aculeatus	.	+	1
Lonicera implexa subsp. <i>implexa</i>	+	.	1
<hr/>			
Specie caratt. della classe <i>Querco-Fagetea</i>			
Quercus pubescens (s.l.)	3	4	2
Fraxinus ormus subsp. <i>ormus</i>	3	3	2
Ostrya carpinifolia	1	1	2
Sorbus domestica	1	1	2
Stachys officinalis	+	.	1
Melittis melissophyllum subsp. <i>meliophyllum</i>	+	.	1
Cephalanthera longifolia	+	.	1
Hedera helix subsp. <i>helix</i>	.	1	1
Acer campestre	.	1	1
Sorbus torminalis	.	1	1
Prunus avium subsp. <i>avium</i>	.	1	1
Cornus mas	.	1	1
Castanea sativa	.	+	1
Tamus communis	.	+	1
Brachypodium sylvaticum subsp. <i>sylvaticum</i>	.	+	1
Acer opalus subsp. <i>obtusatum</i>	.	+	1
Cephalanthera damasonium	.	+	1
<hr/>			
Compagne			
Brachypodium rupestre	+	+	2
Juniperus oxycedrus subsp. <i>oxycedrus</i>	+	+	2
Ampelodesmos mauritanicus	1	.	1
Crataegus monogyna	.	1	1
Ligustrum vulgare	.	+	1
Carex flacca subsp. <i>flacca</i>	.	+	1

subsp. *scoparius* e *Hieracium* gr. *murorum*. Questa subassociazione esprime il contatto catenale tra i quercenti dell'*Erico arboreae-Quercetum pubescens* e gli ostrio-cerreti dell'*Aceri obtusati-Quercetum cerridis*.

Infine, sui versanti posti tra 600 e 800 m di quota, su esposizioni occidentali o sud-occidentali, in condizione di leggero impluvio e inclinazione compresa fra 10 e 20° si sviluppano quercenti con sottobosco composto da elementi floristici che indicano una maggiore strutturazione e umidità del suolo, come *Prunus spinosa* subsp. *spinosa*, *Euonymus europaeus*, *Cornus sanguinea*, *Ligustrum vulgare* e *Brachypodium*

sylvaticum subsp. *sylvaticum*. Questa particolare connotazione floristico-ecologica permette di descrivere la nuova variante mesofila *Erico arboreae-Quercetum pubescens ericotosum arboreae* var. a *Cornus sanguinea*.

Il confronto degli spettri corologici (Fig. 5) sembra rimarcare le differenze tra i sopraelencati *syntaxa*, con una leggera riduzione degli elementi mediterranei *sensu lato* nel passaggio dalla subassociazione tipica all'*Erico arboreae-Quercetum pubescens quercetosum cerridis* e alla var. a *Cornus sanguinea*; più significativo è l'aumento delle Eurasiatriche e delle Atlantiche tra la

Tab. 7 - *Erico arboreae-Quercetum pubescens-ericetosum arboreae* ass. nova

<i>Erico arboreae-Quercetum pubescens-ericetosum arboreae</i> ass. nova											
<i>Erico arboreae-Quercetum pubescens</i> <i>queretosum cerridis</i> subass. nova											
Numero rilievo secondo cluster rinumerato											
Numeri rilievo	1	2	9	20	4	8	5	7	13	6	14
Altitudine (m)	1	2	3	4	5	6	7	8	9	10	11
Esposizione	930	810	900	610	730	600	730	720	540	710	650
Inclinazione (°)	SW	SE	SE	ENE	SE	S	E	S	SE	SW	NNW
Ricopriamento (%)	25	35	20	30	35	30	40	30	35	30	35
Superficie (m ²)	90	100	90	100	100	95	100	100	98	95	100
Specie caratt. dell'ass. <i>Erico arboreae-Quercetum pubescens</i> e diff. della subass. <i>ericetosum arboreae</i>											
Erica arborea	3	3	2	3	2	+	2	1	+2	2	2
Cytisus hirsutus subsp. polytrichus	+	1	+	+	+	+	+	1	+2	1	1
Pilosostemon strictus	+	1	1	+	+	+	+	1	+2	1	1
Teucrium siculum subsp. siculum	1	1	1	+	+	+	+	+	+2	1	1
Asplenium trichomanes subsp. quadrivalens	+	1	+	+	+	+	+	+	+2	1	1
Lathyrus clymenum	.	+	+	+	+	+	+	+	+2	1	1
Specie diff. della subass. <i>queretosum cerridis</i>											
Hieracium murorum	+	1	1	1	1	1	1	1	+2	1	1
Castanea sativa	+2	1	1
Cytisus scoparius subsp. scoparius	+2	1	1
Quercus cerris	1	1	1	1	1	1	1	1	+2	1	1
Specie trasg. della var. a <i>Corinus sanguinea</i>											
Prunus spinosa subsp. spinosa	+2	1	1
Corinus sanguinea	+2	1	1
Brachypodium sylvaticum subsp. sylvaticum	+2	1	1
Ligustrum vulgare	+2	1	1
Specie caratt. dell'all. <i>Carpinion orientalis</i> e diff. della suball. <i>Cytiso-Quercetum pubescens</i>											
Fraxinus ornus subsp. ornus	1	2	1	2	3	2	2	3	+2	2	2
Acer opalus subsp. obusatum	+	2	+	+	2	+	1	2	+2	1	1
Teucrium chamaedrys subsp. chamaedrys	+	+	+	+	+	+	+	+	+2	1	1
Carpinus orientalis subsp. orientalis	.	+	+	1	1	1	1	1	+2	1	1
Ostrya carpinifolia	.	1	1	1	1	1	1	1	+2	1	1
Clinopodium vulgare subsp. vulgare	1	1	1	1	1	1	1	1	+2	1	1
Emerus major subsp. emeroides	.	+	+	+	+	+	+	1	+2	1	1
Inula conyzae	.	+	+	+	+	+	+	1	+2	1	1
Colutea arborescens	.	+	+	+	+	+	+	1	+2	1	1
Specie caratt. della classe <i>Querco-Fagetea</i>											
Quercus pubescens (s.l.)	5	4	4	5	4	4	5	4	+2	2	2
Viola alba subsp. deinhardtii	+	1	+	+	+	+	1	2	+2	1	1
Cephalanthera longifolia	+	+	+	+	+	+	1	2	+2	1	1
Hedera helix subsp. helix	+	1	+	1	1	1	1	1	+2	1	1
Luzula forsteri	.	1	1	1	1	1	1	1	+2	1	1
Tanus communis	.	1	1	1	1	1	1	1	+2	1	1
Acer campestre	.	1	1	1	1	1	1	1	+2	1	1
Sorbus domestica	.	1	1	1	1	1	1	1	+2	1	1
Prunus avium subsp. avium	.	1	1	1	1	1	1	1	+2	1	1
Cyclamen repandum subsp. repandum	.	1	1	1	1	1	1	1	+2	1	1
Buglossoides purpureocauerulea	.	1	1	1	1	1	1	1	+2	1	1
Silene nemoralis	.	1	1	1	1	1	1	1	+2	1	1
Euonymus europaeus	.	1	1	1	1	1	1	1	+2	1	1
Cruciata glabra subsp. glabra	.	1	1	1	1	1	1	1	+2	1	1

<i>Asplenium onopteris</i>		
<i>Digitalis lutea</i> subsp. <i>australis</i>		
<i>Laburnum anagyroides</i> subsp. <i>anagyroides</i>		
<i>Rosa arvensis</i>		
<i>Arabis turrita</i>		
<i>Festuca heterophylla</i>		
<i>Sorbus terminalis</i>		
<i>Neottia nidus-avis</i>		
<i>Lathyrus venetus</i>		
<i>Platanthera chlorantha</i>		
<i>Viola reichenbachiana</i>		
<i>Stachys officinalis</i>		
<i>Acer monspessulanum</i> subsp. <i>monspessulanum</i>		
<i>Potentilla micrantha</i>		
<i>Polypodium interjectum</i>		
<i>Malus sylvestris</i>		
<i>Carex digitata</i>		
<i>Limodorum abortivum</i>		
<i>Lilium bulbiferum</i> subsp. <i>croceum</i>		
<i>Dactylorhiza maculata</i> subsp. <i>fuchsii</i>		
<i>Helleborus foetidus</i> subsp. <i>foetidus</i>		
<i>Corylus avellana</i>		
<i>Corinus mas</i>		
<i>Daphne laureola</i>		
<i>Carpinus betulus</i>		
<i>Poa sylvestris</i>		
<i>Lacistema muralis</i>		
<i>Cardamine hirsuta</i>		
<i>Listera ovata</i>		
<i>Epipactis microphylla</i>		
<i>Campanula trachelium</i> subsp. <i>trachelium</i>		
<i>Agrimonia eupatoria</i> subsp. <i>eupatoria</i>		
<i>Compositae</i>		
<i>Juniperus oxycedrus</i> subsp. <i>oxycedrus</i>		
<i>Brachypodium rupestre</i>		
<i>Carex flacca</i> subsp. <i>flacca</i>		
<i>Clematis vitalba</i>		
<i>Dactylis glomerata</i> subsp. <i>glomerata</i>		
<i>Bromus erectus</i> subsp. <i>erectus</i>		
<i>Rubus hirtus</i>		
<i>Fragaria vesca</i> subsp. <i>vesca</i>		
<i>Vicia villosa</i> subsp. <i>varia</i>		
<i>Juniperus communis</i> subsp. <i>communis</i>		
<i>Asparagus acutifolius</i>		
<i>Euphorbia cyparissias</i>		
<i>Vicia bithynica</i>		
<i>Orobanche hederae</i>		
<i>Dorycnium hirsutum</i>		
<i>Rubus ulmifolius</i>		
<i>Peridium aquilellum</i> subsp. <i>aquilellum</i>		
<i>Salvia glutinosa</i>		
<i>Inula salicina</i>		
<i>Solidago virgaurea</i> subsp. <i>virgaurea</i>		
<i>Arabis hirsuta</i>		
<i>Sedum rupestre</i> subsp. <i>rupestre</i>		
<i>Cerastium arvense</i> subsp. <i>suffruticosum</i>		
<i>Sporadiche</i>		

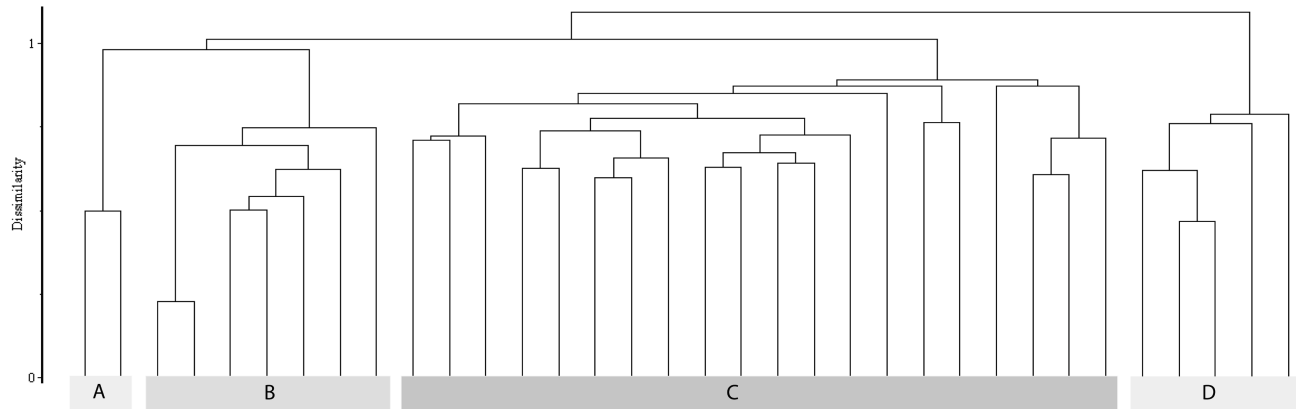


Fig. 4 – Cluster analysis dei boschi di *Quercus pubescens* (s.l.): A – *Cytiso sessilifolii-Quercetum pubescentis quercetosum cerridis*; B – *Peucedano cervariae-Quercetum pubescentis*; C – *Erico arboreae-Quercetum pubescentis ericetosum arboreae ass. nova*; D – *Cytiso sessilifolii-Quercetum pubescentis*

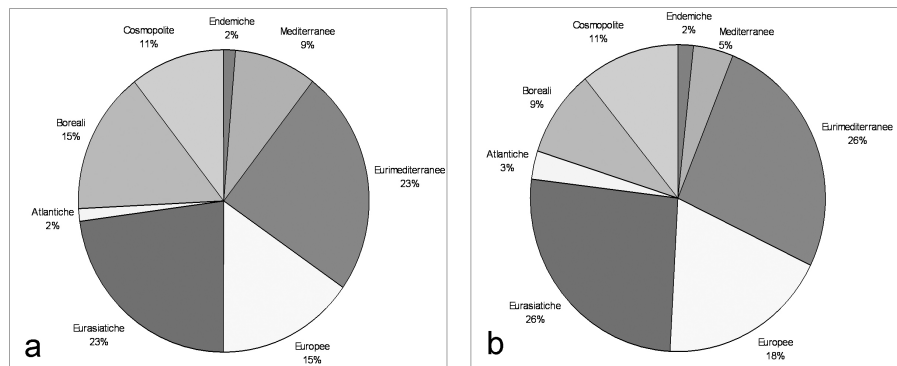
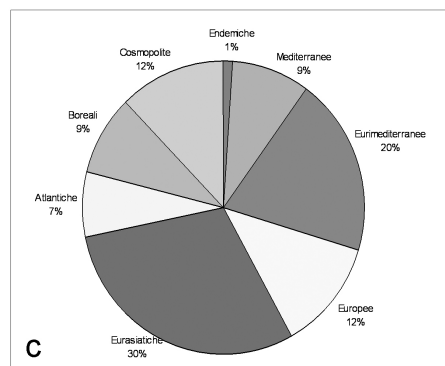


Fig. 5 – Spettro corologico dell'*Erico arboreae-Quercetum pubescentis*: a – *Erico arboreae-Quercetum pubescentis ericetosum arboreae*; b – *Erico arboreae-Quercetum pubescentis quercetosum cerridis*; c – *Erico arboreae-Quercetum pubescentis var. a Cornus sanguinea*



subass. *quercetosum cerridis* e la var. a *Cornus sanguinea*.

Anche l'analisi dei valori di bioindicazione (Tab. 5) conferma in termini ecologici l'articolazione di questo *syntaxon* evidenziata dalla cluster analysis. Infatti, mentre il valore della mediana di T nella subassociazione tipo è di 6,6, nella subassociazione e nella variante scende rispettivamente a 6,4 e 6,2, confermando il maggior livello di mesofilia dei due *syntaxa* rispetto alla subassociazione tipo; tra di loro, invece, essi si differenziano per una diversa esigenza di nutrienti e di

acidità del suolo, maggiore nella variante a *Cornus sanguinea* ($N = 4,6$; $R = 6,2$) e minore nella subassociazione *quercetosum cerridis* ($N=4,2$; $R=5,8$).

HIERACIO MURORI-OSTRYETUM CARPINIFOLIAE ass. nova

HIERACIETOSUM MURORI subass. nova

(Gruppo Ib^{II} Tab. 8, rill. 8-14, *holotypus* ril. 12)

var. a RUBUS HIRTUS

(Gruppo Ib^{II} Tab. 8, rill. 15-17,)

ASPARAGETOSUM ACUTIFOLII subass. nova

(Gruppo Ib^{II} Tab. 8, rill. 1-7, *holotypus* ril. 1)

CARPINETOSUM BETULI subass. nova

(Gruppo Ib^{II} Tab. 8, rill. 18-24, *holotypus* ril. 19)

FAGETOSUM SYLVATICAЕ subass. nova

(Gruppo Ib^{II} Tab. 8, rill. 25-28, *holotypus* ril. 28)

Bosco a dominanza di *Ostrya carpinifolia*, governato a ceduo matricinato, diffuso su versanti con esposizione settentrionale (da est a nord-ovest) e acclività compresa tra 20 a 40°, in una fascia altimetrica posta tra 300-350 e 900-1000 m (Piano Bioclimatico Mesotemperato superiore).

La fisionomia è caratterizzata da: *Ostrya carpinifolia*,

Fraxinus ormus subsp. *ornus*, *Quercus pubescens* (s.l.) e *Acer opalus* subsp. *obtusatum* tra gli alberi; *Carpinus orientalis* subsp. *orientalis*, *Laburnum anagyroides* subsp. *anagyroides* e *Acer campestre* fra gli arbusti; *Hieracium racemosum*, *Luzula forsteri*, *Viola alba* subsp. *dehnhardtii*, *Cyclamen hederifolium* subsp. *hederifolium*, *Brachypodium sylvaticum* subsp. *sylvaticum* e *Hedera helix* subsp. *helix* negli strati erbaceo e lianoso.

Dal punto di vista fitosociologico il raffronto con tabelle di associazioni di ostrieto calcicole quali *Asparago acutifolii-Ostryetum carpinifoliae* Biondi 1982, *Scutellario columnae-Ostryetum carpinifoliae* Pedrotti, Ballelli et Biondi (1979) ex Pedrotti et al. 1982 e *Carici digitatae-Ostryetum carpinifoliae* Catorci, Gatti et Sparvoli 2003 provenienti rispettivamente da: Monte Conero (Biondi, 1982), Monti di Cingoli (Taffetani, 2004) e Appennino maceratese (Catorci et al., 2003) ha mostrato (Fig. 6) l'autonomia di questi boschi rispetto a quelli di raffronto, così come evidenziato anche dalla tabella sinottica ottenuta dagli stessi rilievi (Tab. 8b).

Questa evidenza, unitamente alle peculiari caratteristiche ecologiche e floristiche dei boschi ascolani, consente la proposizione di una nuova associazione denominata *Hieracio murori-Ostryetum carpinifoliae*, per la cui subassociazione tipica (*Hieracio murori-Ostryetum carpinifoliae hieracietosum murori*) vengono proposte come combinazione specifica caratteristica *Hieracium racemosum*, *Luzula forsteri*, *Teucrium siculum* subsp. *siculum*, *Hieracium murorum* e *Potentilla micrantha*. Dal punto di vista sintassonomico questo sintaxon viene inserito nella suballeanza *Laburno anagyroidis-Ostryenion carpinifoliae* (*Carpinion orientalis*).

La subassociazione tipica si sviluppa tra 450 e 800 m di quota, su esposizioni decisamente settentrionali e inclinazione compresa fra 30 e 45°. Questi boschi rappresentano la vegetazione potenziale naturale dei versanti alto-collinari arenacei con esposizioni settentrionali.

Anche la tabella sinottica (Tab. 8b) realizzata utilizzando la tabella originaria di Pedrotti et al. (1982), limitatamente al gruppo di rilievi riferiti all'associazione tipo, nonchè la tabella riferita alla sub-associazione tipo dello *Hieracio murori-Ostryetum carpinifoliae*, rimarca l'autonomia di questi ultimi boschi, evidenziando come il gruppo di specie acidofile e subacidofile, così come anche *Carpinus orientalis*, siano poco rappresentati nello *Scutellario columnae-Ostryetum carpinifoliae*. Deve essere inoltre precisato che la presenza accidentale di questi elementi acidofili nei boschi calcicoli potrebbe

essere dovuta all'affioramento di Calcari diasprini o di lenti di paleosuoli fersiallitici che originano ambienti pedologici piuttosto diversi rispetto a quelli tipici dei substrati calcareo marnosi quali la Scaglia e la Maiolica (Catorci & Orsomando, 2001); la definizione fitosociologica dello *Scutellario columnae-Ostryetum carpinifoliae* è in effetti piuttosto datata ed andrebbe rivista e perfezionata alla luce delle nuove acquisizioni metodologiche, ecologiche e cognitive.

Anche per quanto riguarda gli aspetti sin-dinamici, studi attualmente in corso stanno dimostrando come le tappe di sostizione dello *Scutellario columnae-Ostryetum carpinifoliae* e dello *Hieracio murori-Ostryetum carpinifoliae* siano sostanzialmente diverse (Catorci & Vitanzi, *work in progress*)

Della subassociazione tipica è stata rilevata anche una variante nitrofila che si contraddistingue per una notevole presenza di *Rubus hirtus*, dovuta probabilmente anche ad una minor chiusura della volta arborea.

Sui versanti posti tra 400 e 600-650 m di quota, su esposizioni occidentali o nord-orientali e inclinazione compresa fra 25 e 45° gli ostrieti dello *Hieracio murori-Ostryetum carpinifoliae* si arricchiscono di elementi termofili e termo-xerofili, come *Quercus pubescens* (s.l.), *Erica arborea*, *Asparagus acutifolius*, *Buglossoides purpurocoerulea*, *Rubia peregrina* subsp. *peregrina* e *Tamus communis*. Questa particolare connotazione floristico-ecologica permette di descrivere la nuova subassociazione *Hieracio murori-Ostryetum carpinifoliae asparageto sum acutifolii* differenziata da *Asparagus acutifolius*, *Rubia peregrina* subsp. *peregrina*, *Erica arborea* e *Buglossoides purpurocaerulea*. Si tratta di un *syntaxon* che esprime la transizione e quindi il contatto catenale con gli ostrieti submediterranei dell'*Asparago acutifolii-Ostryetum carpinifoliae*.

Sui versanti posti tra 400 e 700-750 m di quota, su esposizioni settentrionali e inclinazione inferiori a 30°, in situazioni morfologiche di impluvio o in aree ricoperte da suoli colluviali, gli ostrieti dello *Hieracio murori-Ostryetum carpinifoliae* si arricchiscono, invece, di elementi indicatori di suoli più profondi, freschi e ricchi di sostanza organica, come *Carpinus betulus*, *Pulmonaria apennina*, *Carex digitata*, *C. sylvatica* subsp. *sylvatica* e *Melica uniflora*. Questa particolare connotazione floristico-ecologica permette di descrivere la nuova subassociazione *Hieracio murori-Ostryetum carpinifoliae carpinetosum betuli* differenziata da *Carpinus betulus*, *Pulmonaria apennina*, *Melica uniflora* e *Carex sylvatica* subsp. *sylvatica*. Questa

Tab. 8b

	<i>Hieracio murori-Ostryetum carpinifoliae</i>	<i>Scutellario columnae-Ostryetum carpinifoliae</i>
Specie acidofile e subacidofile		
<i>Hieracium murorum</i>	V	I
<i>Luzula forsteri</i>	IV	I
<i>Potentilla micrantha</i>	IV	I
<i>Hieracium racemosum</i>	V	.
<i>Teucrium siculum</i> subsp. <i>siculum</i>	III	.
<i>Castanea sativa</i>	III	.
<i>Erica arborea</i>	II	.
<i>Listera ovata</i>	II	.
Altre specie diff. dello <i>Hieracio murori-Ostryetum carpinifoliae</i> rispetto allo <i>cutellario columnae-Ostryetum carpinifoliae</i>		
<i>Carpinus orientalis</i> subsp. <i>orientalis</i>	V	.
<i>Ptilostemon strictus</i>	III	.
Specie caratt. dell'all. <i>Carpinion orientalis</i> e diff. della suball. <i>Laburno anagyroidis-Ostryenion carpinifoliae</i>		
<i>Ostrya carpinifolia</i>	V	V
<i>Acer opalus</i> subsp. <i>obtusatum</i>	V	V
<i>Emerus majus</i> (s.l.)	IV	V
<i>Laburnum anagyroides</i> subsp. <i>anagyroides</i>	II	I
<i>Sanicula europaea</i>	II	IV
<i>Carex digitata</i>	II	IV
<i>Lilium bulbiferum</i> subsp. <i>croceum</i>	I	V
<i>Digitalis lutea</i> subsp. <i>australis</i>	I	.
Specie caratt. della classe <i>Querco-Fagetea</i>		
<i>Hedera helix</i> subsp. <i>helix</i>	V	V
<i>Fraxinus ornus</i> subsp. <i>ornus</i>	V	V
<i>Viola alba</i> subsp. <i>dehnhardtii</i>	V	V
<i>Acer campestre</i>	V	V
<i>Quercus pubescens</i> (s.l.)	V	IV
<i>Cephalanthera longifolia</i>	IV	I
<i>Brachypodium sylvaticum</i> subsp. <i>sylvaticum</i>	III	IV
<i>Tamus communis</i>	III	V
<i>Sorbus domestica</i>	III	II
<i>Festuca heterophylla</i>	II	V
<i>Primula vulgaris</i> subsp. <i>vulgaris</i>	II	V
<i>Melica uniflora</i>	II	IV
<i>Ajuga reptans</i>	II	IV
<i>Prunus avium</i> subsp. <i>avium</i>	II	II
<i>Daphne laureola</i>	II	V
<i>Buglossoides purpureocerulea</i>	I	V
<i>Quercus cerris</i>	I	II
<i>Carex sylvatica</i> subsp. <i>sylvatica</i>	I	I
<i>Cruciata glabra</i> subsp. <i>glabra</i>	I	IV
<i>Corylus avellana</i>	I	IV
<i>Lathyrus venetus</i>	I	V
<i>Sorbus torminalis</i>	I	II
<i>Cephalanthera damasonium</i>	I	II
<i>Hepatica nobilis</i>	I	V
<i>Euonymus europaeus</i>	I	II
<i>Stachys officinalis</i>	I	I
<i>Malus cfr sylvestris</i>	I	II
<i>Cyclamen repandum</i> subsp. <i>repandum</i>	I	IV
<i>Cyclamen hederifolium</i> subsp. <i>hederifolium</i>	IV	.
<i>Carpinus betulus</i>	I	.
<i>Pulmonaria apennina</i>	I	.
<i>Polypodium interjectum</i>	I	.
<i>Clinopodium vulgare</i> subsp. <i>vulgare</i>	I	.
<i>Silene nemoralis</i>	I	.
<i>Aristolochia rotunda</i> subsp. <i>rotunda</i>	I	.
<i>Lonicera xylosteum</i>	V	
<i>Melittis melissophyllum</i>	V	
<i>Calamintha sylvatica</i>	IV	
<i>Bromus ramosus</i>	III	
<i>Scutellaria columnae</i>	III	
<i>Polypodium vulgare</i>	II	
<i>Cnidium silafolium</i>	II	
<i>Luzula sylvatica</i>	I	
<i>Acer monspessulanum</i>	I	
<i>Arabis turrita</i>	I	
<i>Staphylea pinnata</i>	I	
<i>Epipactis helleborine</i>	I	
<i>Anemone apennina</i>	I	
Specie trasgr. dall'ord. <i>Fagellalia sylvaticae</i>		
<i>Neottia nidus-avis</i>	IV	II
<i>Campanula trachelium</i> subsp. <i>trachelium</i>	III	V
<i>Salvia glutinosa</i>	II	II
<i>Viola reichenbachiana</i>	I	V
<i>Lactuca muralis</i>	I	I
<i>Polystichum setiferum</i>	I	II
<i>Tilia platyphyllos</i> subsp. <i>platyphyllos</i>	I	I
<i>Euonymus latifolius</i>	I	.
<i>Dactylorhiza maculata</i> subsp. <i>fuchsii</i>	I	.
<i>Lamium galeobdolon</i> cfr subsp. <i>montanum</i>	I	.
<i>Euphorbia amygdaloides</i>	V	
<i>Euphorbia dulcis</i>	IV	
<i>Sorbus aria</i>	III	
<i>Cardamine graeca</i>	II	

<i>Mercurialis perennis</i>	II
<i>Cardamine bulbifera</i>	II
<i>Lilium martagon</i>	II
<i>Galium odoratum</i>	I
<i>Stellaria holostea</i>	I
<i>Ulmus glabra</i>	I
<i>Asperula taurina</i>	I
<i>Ranunculus lanuginosus</i>	I
<i>Allium pendulinum</i>	I
<i>Pulmonaria vallarsae</i>	I
Compagne	
<i>Clematis vitalba</i>	V III
<i>Pteridium aquilinum</i> subsp. <i>aquilinum</i>	IV I
<i>Carex flacca</i> subsp. <i>flacca</i>	III IV
<i>Rubus hirtus</i>	III IV
<i>Ruscus aculeatus</i>	III IV
<i>Lonicera caprifolium</i>	I III
<i>Juniperus communis</i> subsp. <i>communis</i>	I III
<i>Ligustrum vulgare</i>	I IV
<i>Hypericum montanum</i>	I II
<i>Cornus sanguinea</i>	V
<i>Brachypodium rupestre</i>	IV
<i>Cytisus hirsutus</i> subsp. <i>polytrichus</i>	III .
<i>Pyracantha coccinea</i>	II .
<i>Vicia villosa</i> subsp. <i>varia</i>	I .
<i>Laserpitium latifolium</i>	I .
<i>Rubia peregrina</i> subsp. <i>peregrina</i>	I .
<i>Inula conyzae</i>	I .
<i>Crataegus monogyna</i>	V
<i>Rosa canina</i>	V
<i>Cornus mas</i>	V
<i>Fragaria vesca</i>	V
<i>Geum urbanum</i>	IV
<i>Dactylis glomerata</i>	IV
<i>Solidago virga-aurea</i>	IV
<i>Digitalis micrantha</i>	IV
<i>Orchis maculata</i>	III
<i>Arum italicum</i>	III
<i>Helleborus boottii</i>	III
<i>Cytisus sessilifolius</i>	III
<i>Prunus spinosa</i>	III
<i>Cotinus coggygria</i>	II
<i>Melampyrum italicum</i>	II
<i>Crataegus laevigata</i>	II
<i>Helleborus foetidus</i>	II
<i>Tanacetum corymbosum</i>	II
<i>Colutea arborescens</i>	I
<i>Orchis purpurea</i>	I
<i>Ornithogalum pyrenaicum</i>	I
<i>Aquilegia vulgaris</i>	I
<i>Ulmus minor</i>	I
<i>Clematis recta</i>	I
<i>Asplenium adiantum-nigrum</i>	I
<i>Silene italica</i>	I
<i>Asparagus acutifolius</i>	I
<i>Geranium robertianum</i>	I
<i>Glechoma hirsuta</i>	I
<i>Veratrum nigrum</i>	I
<i>Teucrium chamaedrys</i>	I

CYCLAMINO HEDERIFOLII-CASTANEETUM SATIVAE Allegrezza 2003

TEUCRIETOSUM SICULI subass. nova

(Gruppo Ib¹ Tab. 3, rill. 1-20, *holotypus* ril. 3)

var. a **CARPINUS ORIENTALIS** SUBSP. **ORIENTALIS**

(Gruppo Ib¹ Tab. 3, rill. 21-25)

FAGETOSUM SYLVATICAЕ subass. nova

(Gruppo Ib¹ Tab. 3, rill. 26-30, *holotypus* ril. 28)

Bosco a dominanza di *Castanea sativa*, generalmente governato a ceduo matricinato, diffuso su versanti con esposizione prevalentemente settentrionale (da nord-nord-est a nord-ovest) e acclività compresa tra 10 e 30°, in una fascia altimetrica posta tra 450 e 950-1000 m.

La fisionomia è caratterizzata da: *Castanea sativa* con *Ostrya carpinifolia*, *Fagus sylvatica* subsp. *sylvatica*, *Fraxinus ornus* subsp. *ornus*, *Prunus avium* subsp. *avium* e *Acer opalus* subsp. *obtusatum* tra gli alberi; *Rubus hirtus* fra gli arbusti; *Luzula forsteri*, *Sanicula*

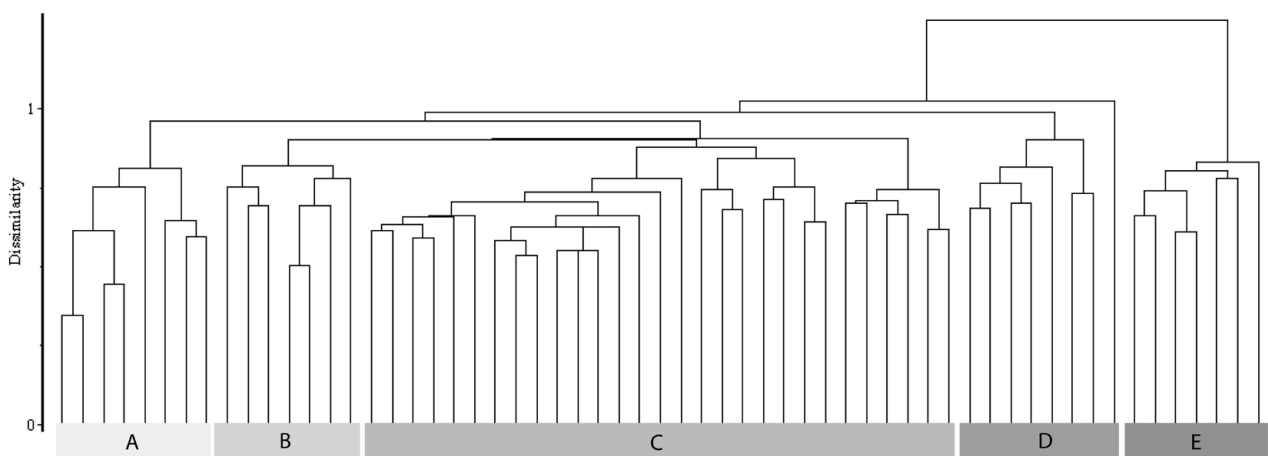


Fig. 6 – Cluster analysis dei boschi di *Ostrya carpinifolia*: A – *Asparago acutifolii-Ostryetum carpinifoliae*; B – *Scutellario columnae-Ostryetum carpinifoliae*; C – *Hieracium murori-Ostryetum carpinifoliae* ass. nova; D – *Scutellario columnae-Ostryetum carpinifoliae* var. a *Quercus ilex*; E – *Carici digitatae-Ostryetum carpinifoliae*.

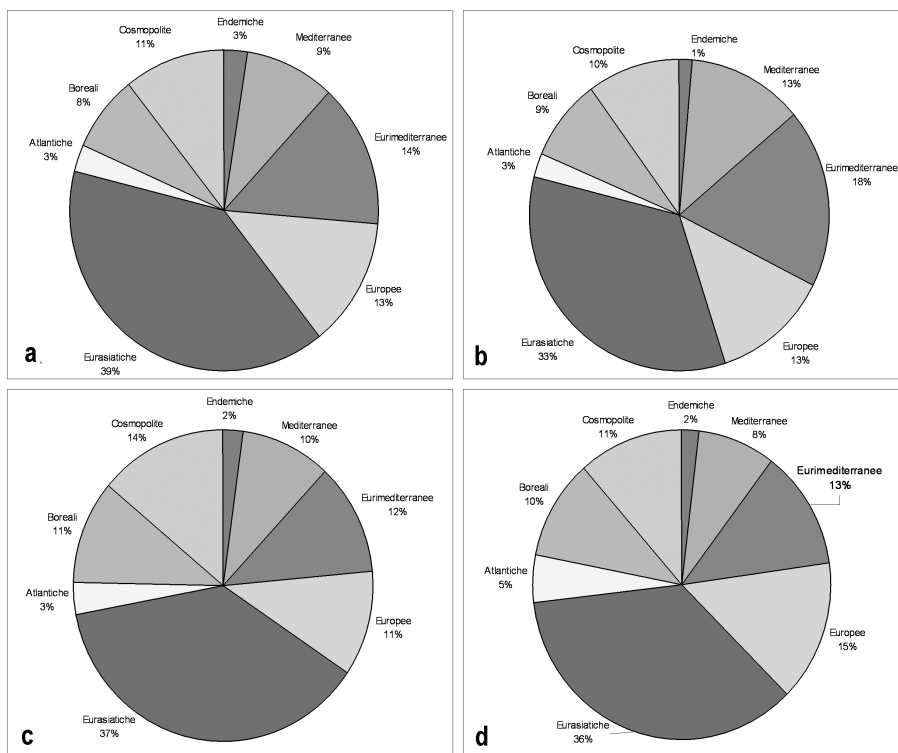


Fig. 7 – Spettro corologico dello *Hieracio murori-Ostryetum carpinifoliae*: a - *Hieracio murori-Ostryetum carpinifoliae hieracietosum murori*; b - *Hieracio murori-Ostryetum carpinifoliae asparageto sum acutifolii*; c - *Hieracio murori-Ostryetum carpinifoliae carpinetosum betuli*; d - *Hieracio murori-Ostryetum carpinifoliae fagetosum sylvaticae*.

europaea, *Hieracium murorum* nello strato erbaceo.

Dal punto di vista fitosociologico il raffronto con tabelle di associazioni di castagneti provenienti dalle Marche centro-meridionali quali il *Cyclamino hederifolii-Castaneetum sativae* (Allegrezza, 2003), il *Cardamino kitaibelii-Castaneetum sativae* (Taffetani, 2000) e il *Melampyro italicici-Castaneetum sativae* (Hruska, 1988) provenienti rispettivamente dalla dorsale arenacea della sinclinale di Camerino, dal Monte

dell'Ascensione e dai Monti della Laga ha mostrato (Fig. 8) come i castagneti rilevati nell'area di studio presentino una notevole affinità con il *Cyclamino hederifolii-Castaneetum sativae*.

Tuttavia il grappolo dei rilievi estratti da Allegrezza (2003) rimane distinto da quelli provenienti dai rilievi arenacei ascolani. Questa separazione, dal punto di vista floristico e biogeografico, è a nostro avviso ben espressa da *Teucrium siculum* subsp. *siculum*, specie a

Tab. 9 - *Cyclaminus hederifolii*-*Castaneum sylvaticae* Allegretto 2003

	<i>Cyclaminus hederifolii</i> - <i>Castaneum sylvaticae</i> Allegretto 2003		<i>genitiosum siculi</i> subass. nova		<i>Cyclaminus hederifolii</i> - <i>Castaneum sylvaticae</i> Allegretto 2003		<i>genitiosum siculi</i> var. a <i>Carpinus orientalis</i>			
Numeri rilevo	1	2	3	4	5	6	7	8	9	10
Altitudine (m)	725	700	730	720	750	630	810	745	750	780
Esposizione	NW	NE	N	NNE	N	NW	NW	NNW	ENE	NNW
Inclinazione (%)	25	20	25	25	25	25	25	20	15	25
Ricoperto (%)	95	100	100	95	100	100	95	100	100	100
Superficie (m ²)	400	400	400	400	350	350	400	400	450	400
Species carni. dell'ass. <i>Cyclaminus hederifolii</i> - <i>Castaneum sylvaticae</i>	+	+	+	+	+	+	+	+	+	+
<i>Pedicularis equitatum</i> subsp. <i>equitatum</i>	1	+	1	+	2	1	2	2	1	3
<i>Hieracium murorum</i>	+	+	+	+	+	+	+	+	+	+
<i>Solidago virgaurea</i> subsp. <i>virgaurea</i>	+	+	+	+	+	+	+	+	+	+
<i>Erica arborea</i>	+	+	+	+	+	+	+	+	+	+
<i>Viola alba</i> subsp. <i>leptostachys</i>	+	+	+	+	+	+	+	+	+	+
<i>Melica uniflora</i>	+	+	+	+	+	+	+	+	+	+
<i>Carex sylvatica</i> subsp. <i>sylvatica</i>	+	+	1	+	1	+	+	+	1	+
<i>Cyclamen hederifolium</i> subsp. <i>hederifolium</i>	+	+	+	+	+	+	+	+	+	+
<i>Tanus communis</i>	+	+	1	1	1	1	1	1	1	1
<i>Carpinus betulus</i>	+	+	1	1	1	1	1	1	1	1
<i>Hieracium racemosum</i>	+	+	1	1	1	1	1	1	1	1
Species diff. della subass. <i>Cyclaminus hederifolii</i> - <i>Castaneum sylvaticae</i> teucritosum siccii	+	+	1	+	+	+	+	+	+	+
<i>Teucrium scutellum</i>	+	+	1	+	1	+	+	+	+	+
<i>Pilospermum strictum</i>	+	+	1	+	+	+	+	+	+	+
Species della var. a <i>Carpinus orientalis</i> subsp. <i>orientalis</i>	+	+	1	+	+	+	+	+	+	+
<i>Carpinus orientalis</i> subsp. <i>orientalis</i>	+	+	1	+	+	+	+	+	+	+
<i>Lonicera etrusca</i>	+	+	1	+	+	+	+	+	+	+
<i>Viburnum tinus</i> subsp. <i>tinus</i>	+	+	1	+	+	+	+	+	+	+
Species della subass. <i>Cyclaminus hederifolii</i> - <i>Castaneum sylvaticae</i> fagenum sylvaticae	+	+	1	+	+	+	+	+	+	+
<i>Cratago lacryma</i>	+	+	1	+	+	+	+	+	+	+
<i>Fagus sylvatica</i> subsp. <i>sylvatica</i>	+	+	1	+	+	+	+	+	+	+
<i>Acer pseudoplatanus</i>	+	+	1	+	+	+	+	+	+	+
<i>Euphorbia amygdaloides</i> subsp. <i>amygdaloidea</i>	+	+	1	+	+	+	+	+	+	+
<i>Gaultheria odoratissima</i>	+	+	1	+	+	+	+	+	+	+
<i>Cardamine hirsutifera</i>	+	+	1	+	+	+	+	+	+	+
<i>Prenanthes purpurea</i>	+	+	1	+	+	+	+	+	+	+
<i>Euonymus latifolius</i>	+	+	1	+	+	+	+	+	+	+
<i>Polygonum verticillatum</i>	+	+	1	+	+	+	+	+	+	+
Specie triser. dall'ord. <i>Fragariae</i> sylvaticae	+	+	1	+	+	+	+	+	+	+
<i>Acer opalus</i> subsp. <i>obtusifolium</i>	+	+	1	+	1	+	1	+	1	+
<i>Sanicula europaea</i>	+	+	1	+	1	+	1	+	1	+
<i>Ostrya carpinifolia</i>	+	+	1	+	1	+	1	+	1	+
<i>Lathyrus venetus</i>	+	+	1	+	1	+	1	+	1	+
<i>Digitaria lutea</i> subsp. <i>australis</i>	+	+	1	+	1	+	1	+	1	+
<i>Carex digitata</i>	+	+	1	+	1	+	1	+	1	+
<i>Emersus manus</i> (L.)	+	+	1	+	1	+	1	+	1	+
<i>Daphne laureola</i>	+	+	1	+	1	+	1	+	1	+
<i>Lathyrus palustris</i> subsp. <i>crocineum</i>	+	+	1	+	1	+	1	+	1	+
<i>Hepatica nobilis</i>	+	+	1	+	1	+	1	+	1	+
<i>Campanula trachelium</i> subsp. <i>trachelium</i>	+	+	1	+	1	+	1	+	1	+
<i>Ruscus aculeatus</i>	+	+	1	+	1	+	1	+	1	+
Species triser. dall'ord. <i>Polygonaceae</i>	+	+	1	+	1	+	1	+	1	+
<i>Festuca heterophylla</i>	+	+	1	+	1	+	1	+	1	+
<i>Salvia glutinosa</i>	+	+	1	+	1	+	1	+	1	+
<i>Lactuca muralis</i>	+	+	1	+	1	+	1	+	1	+
<i>Viola reichenbachiana</i>	+	+	1	+	1	+	1	+	1	+
<i>Prunus avium</i> subsp. <i>avium</i>	+	+	1	+	1	+	1	+	1	+
<i>Neottia nidus-avis</i>	+	+	1	+	1	+	1	+	1	+
<i>Corylus avellana</i>	+	+	1	+	1	+	1	+	1	+
<i>Listerotropa</i>	+	+	1	+	1	+	1	+	1	+
<i>Rosa arvensis</i>	+	+	1	+	1	+	1	+	1	+
<i>Populus tremula</i>	+	+	1	+	1	+	1	+	1	+
<i>Pulmonaria apennina</i>	+	+	1	+	1	+	1	+	1	+
<i>Tilia platyphyllos</i> subsp. <i>platyphyllos</i>	+	+	1	+	1	+	1	+	1	+
<i>Ranunculus neapolitanus</i>	+	+	1	+	1	+	1	+	1	+
<i>Euphorbia dulcis</i>	+	+	1	+	1	+	1	+	1	+
<i>Genista nodosa</i>	+	+	1	+	1	+	1	+	1	+
<i>Saxifraga rotundifolia</i> subsp. <i>roundifolia</i>	+	+	1	+	1	+	1	+	1	+
<i>Avenaria agrimonoides</i> subsp. <i>agrimonoides</i>	+	+	1	+	1	+	1	+	1	+
<i>Milium effusum</i>	+	+	1	+	1	+	1	+	1	+
<i>Polygonum perfoliatum</i>	+	+	1	+	1	+	1	+	1	+
<i>Polygonum perfoliatum</i>	+	+	1	+	1	+	1	+	1	+
<i>Hypericum androsaemum</i>	+	+	1	+	1	+	1	+	1	+

Acer platanoides	1
Arsenura proboscideum	1
Ruscus hypoglossum	1
Gaultheria shallots subsp. involucrata	1
Specie trasg. dall'ord. <i>Quercetalia robori-petraeae</i>	
Castanea sativa	2
Luzula forsteri	2
Cytisus hirsutus subsp. polychrous	2
Poa sylvestris	2
Genista intermedia	2
Cytisus officinalis	2
Cytisus scoparius subsp. scoparius	2
Veronica unicoloria	1
Veronica scutellata	1
Hedera helix subsp. helix	2
Fraxinus ornus subsp. ornus	2
Brachypodium sylvaticum subsp. sylvaticum	2
Prunus vulgaris subsp. vulgaris	2
Cneorum glabra subsp. glabra	2
Quercus phellos (cf.)	2
Ayglon repens	2
Cephaelanthus longifolia	2
Chionodendron vulgare subsp. vulgare	2
Paetula micrantha	2
Acer campestre	2
Sorbus domestica	2
Epirhus bellidiforme (L.)	2
Luzula sylvatica subsp. sylvatica	2
Sorbus terminalis	2
Melittis melissophyllum subsp. melissophyllum	2
Stachys officinalis	2
Campanula persicifolia subsp. persicifolia	2
Quercus cerris	2
Matis dentata	2
Polyodium interjectum	2
Cephaelanthus occidentalis	2
Comus nanus	2
Pinus murrayana	2
Sympodium tuberosum subsp. angustifolium	2
Buglossoides purpureocerulea	2
Aegopodium podagraria	2
Candianina hispida	2
Linum album	2
Acer monspessulanum subsp. monspessulanum	2
Epipactis microphylla	2
Arabis turrita	2
Euonymus europaeus	2
Componite	2
Rubus hispida	2
Dicentra maculata subsp. fuchsii	2
Fragaria vesca subsp. vesca	2
Clematis vitalba	2
Juniperus communis subsp. communis	2
Corus sanguinea	2
Astragalus glycyphyllos	2
Carex flacca subsp. flaccia	2
Asplenium trichomanes subsp. quadrivalvis	2
Vicia sepium	2
Brachypodium roperae	2
Crataegus monogyna	2
Moehringia trinervia	2
Vicia villosa subsp. varia	2
Prunella vulgaris subsp. vulgaris	2
Dactylis glomerata subsp. glomerata	2
Veronica chamaedrys subsp. chamaedrys	2
Hypocalymma montanum	2
Oenanthe pimpinelloides	2
Geum urbanum	2
Pyranthes coccinea	2
Sporadiche	0

gravitazione centro-meridionale che trova nell'alta Valle del Tenna (AP) il limite settentrionale di diffusione lungo il versante adriatico (Scoppola & Bascietto, 2001) ed è quindi assente nei rilievi provenienti dalla più settentrionale sinclinale di Camerino-Fabriano. Sulla base di tali considerazioni floristico-biogeografiche si propone la nuova subassociazione *Cyclamino hederifolii-Castaneetum sativae teucrietosum siculi*, differenziata da *Teucrium siculum* subsp. *siculum* e *Ptilostemon strictus*, che vicaria, nel settore più meridionale del sin-areale, la subassociazione tipo *Cyclamino hederifolii-Castaneetum sativae*, che in conformità con quanto previsto dal Codice internazionale di nomenclatura fitosociologica (Weber et al., 2002), viene qui identificata con l'epiteto *cyclaminetosum hederifolii* (holotypus ril. n. 2 di Tab. 13 in Allegrezza, 2003).

Sulla base delle sovraesposte considerazioni biogeografiche anche i castagneti dei Monti della Laga (*Melampyro italicici-Castaneetum sativae*) dovrebbero essere inclusi nel *Cyclamino hederifolii-Castaneetum sativae teucrietosum siculi*, mentre, invece, nella cluster analysis di confronto mantengono una loro autonomia. A nostro avviso questo fatto non è però sufficiente per escludere una loro affinità al *Cyclamino hederifolii-Castaneetum sativae teucrietosum siculi* in quanto questi rilievi furono realizzati in contesti forestali strutturalmente assai eterogenei (castagneti da frutto, boschi abbandonati, cedui matricinati) e in un momento storico temporalmente ancora abbastanza vicino alla crisi della castagnicoltura degli anni '60-'70. Bisognerebbe, dunque, ripetere una campagna di rilevamento al fine di verificare l'ipotesi di una sostanziale unità sintassonomica dei castagneti delle arenarie marchigiane, la cui uniformità petrografica (Regione Marche, 1991) non sembrerebbe poter supportare ben tre

diverse associazioni di castagneto ceduo.

Nell'area di studio il *Cyclamino hederifolii-Castaneetum sativae teucrietosum siculi*, si sviluppa tra 650 e 750-800 m di quota, prevalentemente con esposizione settentrionale e inclinazione prevalentemente compresa fra 10 e 30°. Questi boschi rappresentano la vegetazione forestale di sostituzione dei versanti alto-collinari arenacei, occupando prevalentemente lo spazio ecologico di pertinenza dell'*Aceri obtusati-Quercetum cerridis fagetosum sylvaticae* e dello *Hieracio murori-Ostryetum carpinifoliae carpinetosum betuli*.

Sui versanti posti tra 400 e 600 m di quota, su esposizioni settentrionali, in situazioni morfologiche di impluvio o in aree ricoperte da suoli colluviali, si sviluppano dei castagneti con *Carpinus orientalis* subsp. *orientalis* particolarmente abbondante. Questa particolare connotazione floristico-ecologica permette di descrivere la nuova variante *Cyclamino hederifolii-Castaneetum sativae teucrietosum siculi* var. a *Carpinus orientalis* subsp. *orientalis* differenziata da *Carpinus orientalis* subsp. *orientalis*, *Lonicera etrusca* e *Viburnum tinus* subsp. *tinus*. Questi boschi rappresentano la vegetazione forestale di sostituzione dei versanti alto-collinari arenacei (al limite con il Piano Bioclimatico Mesotemperato inferiore) occupando lo spazio ecologico di pertinenza degli ostrieti dello *Hieracio murori-Ostryetum carpinifoliae asparageto sum acutifolii* e, probabilmente, dell'*Erico arboreae-Quercetum pubescens querchetosum cerridis*.

Infine, sui versanti con esposizione prevalentemente settentrionale (da est a ovest-nord-ovest) e acclività compresa tra 15 e 35°, in una fascia altimetrica posta tra 700 e 1000 m (in condizioni morfologiche di impluvio alle quote più basse), i castagneti si arricchiscono della presenza di *Fagus sylvatica* subsp.

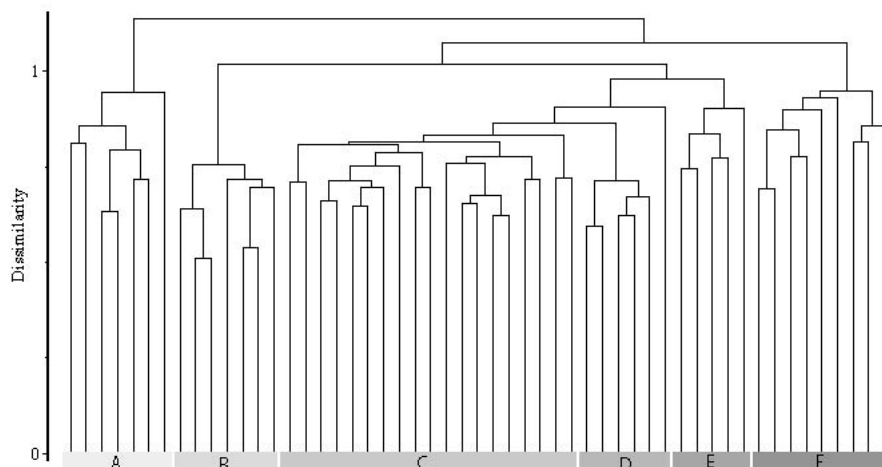


Fig. 8 – Cluster analysis dei boschi di *Castanea sativa*: A – *Cardamino kitaibelii-Castaneetum sativae*; B – *Cyclamino hederifolii-Castaneetum sativae*; C – *Cyclamino hederifolii-Castaneetum sativae teucrietosum siculi* subass. nova; D – *Cyclamino hederifolii-Castaneetum sativae* var. a *Carpinus orientalis* subsp. *orientalis* var. nova; E – *Cyclamino hederifolii-Castaneetum sativae fagetosum sylvaticae* subass. nova; F – *Melampyro italicici-Castaneetum sativae*

sylvatica, *Cornus mas*, *Carpinus betulus* e *Corylus avellana*, nonché di un significativo gruppo di specie dell'ordine *Fagetales sylvaticae*. Questa particolare connotazione floristico-ecologica permette di descrivere la nuova subassociazione *Cyclamino hederifolii-Castaneetum sativae fagetosum sylvaticae* differenziata da *Crataegus laevigata*, *Fagus sylvatica* subsp. *sylvatica*, *Acer pseudoplatanus*, *Euphorbia amygdaloides* subsp. *amygdaloides*, *Galium odoratum*, *Cardamine bulbifera*, *Prenanthes purpurea*, *Euonymus latifolius* e *Polygonatum verticillatum*. Questo nuovo *syntaxon* comprende anche i boschi riferiti da Allegrezza (2003) al *Cyclamino hederifolii-Castaneetum sativae* var. a *Fagus sylvatica* subsp. *sylvatica* e rappresenta la vegetazione forestale di sostituzione dei versanti alto-collinari e basso-montani arenacei occupando prevalentemente lo spazio ecologico di pertinenza dei faggeti del *Solidagini-Fagetum sylvaticae luzuletosum sylvaticae*.

Dal punto di vista sintassonomico il rapporto di questa subassociazione con le formazioni del *Cardamino kitaibelli-Castaneetum sativae* (Taffetani, 2000) dovrà essere ulteriormente indagato mediante l'allargamento dell'ambito di ricerca ai Monti della Laga, nella fascia altimetrica posta tra 1000 e 1300 m.

Il confronto degli spettri corologici (Fig. 9) rimarca ulteriormente le differenze tra i sopraelencati *syntaxa*,

con un aumento degli elementi mediterranei nel passaggio dal *Cyclamino hederifolii-Castaneetum sativae teucrietosum siculi* e *Cyclamino hederifolii-Castaneetum sativae fagetosum sylvaticae* (18%, con una differenziazione tra i due *syntaxa* nella presenza di elementi eurasiaci) al *Cyclamino hederifolii-Castaneetum sativae teucrietosum siculi* var. a *Carpinus orientalis* subsp. *orientalis* (25%).

Anche l'analisi dei valori di bioindicazione (Tab. 5) conferma in termini ecologici l'articolazione di questo *syntaxon*. Infatti, mentre il valore della mediana di T nella subassociazioni *teucrietosum siculi* ha un valore di 5,8, questo sale a 6 nel *Cyclamino hederifolii-Castaneetum sativae teucrietosum siculi* var. a *Carpinus orientalis* subsp. *orientalis*, mentre scende a 5,6 nella subassociazione *Cyclamino hederifolii-Castaneetum sativae fagetosum sylvaticae*.

ACERI OBTUSATI-QUERCETUM CERRIDIS Ubaldi et Speranza 1982

FAGETOSUM SYLVATICAЕ Allegrezza 2003

(Gruppo Ib¹ Tab. 10, rill. 1-10, *holotypus* ril. 7, Tab. 10 in Allegrezza, 2003)

Bosco a dominanza di *Quercus cerris*, prevalentemente governato a ceduo matricinato o ceduo composto, diffuso su versanti con esposizione

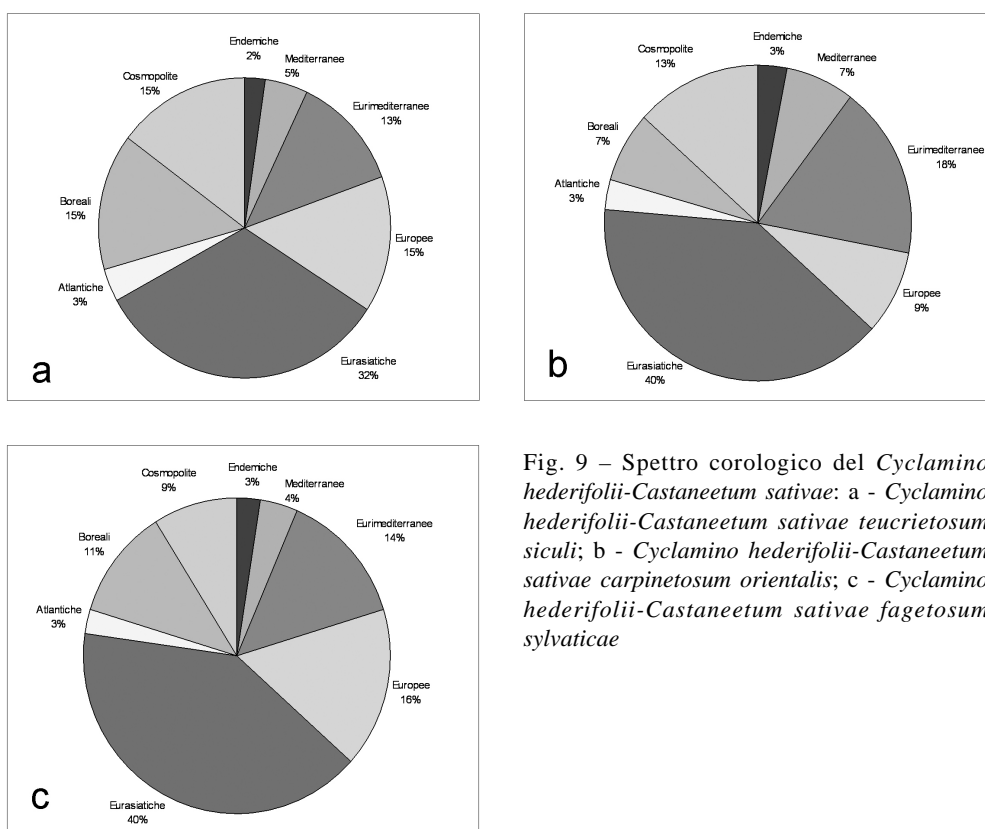


Fig. 9 – Spettro corologico del *Cyclamino hederifolii-Castaneetum sativae*: a - *Cyclamino hederifolii-Castaneetum sativae teucrietosum siculi*; b - *Cyclamino hederifolii-Castaneetum sativae carpinetosum orientalis*; c - *Cyclamino hederifolii-Castaneetum sativae fagetosum sylvaticae*

Tab. 10 - Aceri obtusati-*Quercetum cerridis* Ubaldi et Speranza 1982
Aceri obtusati-Quercetum cerridis Ubaldi et Speranza 1982/*fagetosum sylvaticae* Allegrezza 2003
Aceri obtusati-Quercetum cerridis Ubaldi et Speranza 1982 var. a *Castanea sativa*

Numero rilievo	207	205	1000	278	203	194	87	138	88	139	P R E S
Altitudine (m)	900	880	840	870	960	870	860	860	910	750	
Esposizione	ENE	E	WNW	ESE	ENE	SSE	NW	SE	ESE	E	
Inclinazione (°)	25	20	25	15	20	20	15	20	25	15	
Ricoprimento (%)	100	100	100	100	100	98	95	100	95	100	
Superficie (m ²)	400	400	400	400	400	400	400	400	400	400	
Specie caratt. dell'ass. <i>Aceri obtusati-Quercetum cerridis</i>											
<i>Quercus cerris</i> L.	3	3	3	2	2	3	4	3	4	3	10
<i>Cyclamen hederifolium</i> subsp. <i>hederifolium</i>	1	+	+	+	1	+	+	+	+	.	9
<i>Cornus mas</i>	.	+	1	.	+	1	+	+	+	+	8
<i>Lonicera caprifolium</i>	+	.	1	+	+	+	.	.	+	.	6
<i>Cornus sanguinea</i>	+	.	+	.	+	.	+	+	.	+	6
<i>Sorbus torminalis</i>	.	1	.	1	.	.	1	+	1	.	5
Specie diff. della subass. <i>fagetosum sylvaticae</i>											
<i>Fagus sylvatica</i> subsp. <i>sylvatica</i>	1	2	3	3	2	1	+	+	2	2	10
<i>Carpinus betulus</i>	.	.	.	+	1	2	+	+	+	+	7
<i>Lathyrus vernus</i> subsp. <i>vernus</i>	+	.	+	.	+	+	+	+	.	.	6
<i>Luzula sylvatica</i> subsp. <i>sylvatica</i>	.	+	.	+	.	+	+	+	.	.	5
<i>Euphorbia dulcis</i>	.	.	.	+	+	.	+	+	.	.	4
Specie diff. della var. a <i>Castanea sativa</i>											
<i>Castanea sativa</i>	1	1	1	+	+	+	+	+	1	1	10
<i>Viola odorata</i>	+	+	+	1	+	.	1	.	+	+	8
Specie caratt. della suball. <i>Laburno-Ostryenion carpinifoliae</i> e dell'all. <i>Carpinion orientalis</i>											
<i>Acer opalus</i> subsp. <i>obtusatum</i>	1	1	1	1	2	1	3	3	1	1	10
<i>Ostrya carpinifolia</i>	4	3	2	2	2	2	3	2	3	3	10
<i>Lathyrus venetus</i>	+	+	+	+	+	+	.	.	.	+	7
<i>Hepatica nobilis</i>	+	.	+	+	1	1	.	+	+	.	7
<i>Emerus majus</i> (s.l.)	.	+	.	+	+	+	.	+	+	.	7
<i>Campanula trachelium</i> subsp. <i>trachelium</i>	.	.	.	+	+	.	+	.	+	.	4
<i>Lilium bulbiferum</i> subsp. <i>croceum</i>	.	.	+	.	.	+	+	.	+	.	4
<i>Digitalis lutea</i> subsp. <i>australis</i>	+	.	1
<i>Carex digitata</i>	.	.	+	.	+	2
Specie trasgr. dall' ord. <i>Fagelia sylvaticae</i>											
<i>Aremonia agrimonoides</i> subsp. <i>agrimonoides</i>	1	+	+	+	.	+	+	+	+	+	9
<i>Rosa arvensis</i>	+	.	1	1	+	1	+	+	+	1	9
<i>Sanicula europaea</i>	+	+	+	+	+	+	+	+	.	+	8
<i>Prunus avium</i> subsp. <i>avium</i>	1	+	+	.	+	+	+	2	.	2	8
<i>Lactuca muralis</i>	+	+	.	+	+	+	.	.	+	.	5
<i>Dactylorhiza maculata</i> subsp. <i>fuchsii</i>	+	+	.	+	+	.	5
<i>Crataegus laevigata</i>	+	.	.	+	1	1	.	.	1	5	
<i>Neottia nidus-avis</i>	.	.	.	+	.	+	.	+	+	.	5
<i>Galium odoratum</i>	+	.	+	.	+	.	4
<i>Salvia glutinosa</i>	+	.	+	+	.	3
<i>Solidago virgaurea</i> subsp. <i>virgaurea</i>	+	+	+	.	3
<i>Moehringia trinervia</i>	.	+	+	.	2
<i>Carex sylvatica</i> subsp. <i>sylvatica</i>	1	1	.	.	2
<i>Senecio ovatus</i> subsp. <i>alpestris</i>	+	+	2
<i>Dryopteris filix-mas</i>	+	1
<i>Acer pseudoplatanus</i>	.	.	1	1
<i>Campanula persicifolia</i> subsp. <i>persicifolia</i>	.	.	+	1
<i>Polygonatum multiflorum</i>	.	.	.	+	1
<i>Lilium martagon</i>	+	1
<i>Ranunculus neapolitanus</i>	+	.	.	.	1
<i>Listera ovata</i>	+	.	.	.	1
<i>Platanthera chlorantha</i>	+	.	.	+	1
<i>Epipactis microphylla</i>	+	.	.	+	1
Specie caratt. della classe <i>Querco-Fagetea</i>											
<i>Fraxinus ornus</i> subsp. <i>ornus</i>	1	1	1	1	1	+	+	1	+	+	10
<i>Festuca heterophylla</i>	1	2	1	2	+	1	+	.	+	1	9
<i>Melica uniflora</i>	.	+	+	+	+	+	2	+	+	1	9
<i>Laburnum anagyroides</i> subsp. <i>anagyroides</i>	+	1	.	+	+	+	1	+	1	+	8
<i>Hedera helix</i> subsp. <i>helix</i>	1	+	2	2	+	+	+	.	.	.	7
<i>Luzula forsteri</i>	+	+	.	+	.	+	.	+	1	+	7
<i>Primula vulgaris</i> subsp. <i>vulgaris</i>	+	.	+	+	+	+	1	.	.	+	7
<i>Tamus communis</i>	+	.	.	+	+	+	+	+	+	+	7
<i>Brachypodium sylvaticum</i> subsp. <i>sylvaticum</i>	.	+	+	+	+	+	.	.	+	1	7

Acer campestre	.	.	+	1	.	1	1	+	+	1	7
Cephalanthera longifolia	+	+	+	.	+	+	.	.	.	+	6
Quercus pubescens (s.l.)	1	.	.	1	.	.	2	2	.	1	5
Viola alba subsp. dehnhardtii	.	+	+	+	+	+	5
Cephalanthera damasonium	.	.	.	+	.	+	+	+	+	+	5
Stachys officinalis	+	+	.	+	.	+	.	.	.	+	5
Calamintha nepeta (s.l.)	+	+	+	.	.	+	4
Cruciata glabra subsp. glabra	.	+	+	+	3
Sorbus domestica	.	+	+	.	+	3
Clinopodium vulgare subsp. vulgare	+	+	+	3
Teucrium siculum subsp. siculum	+	+	+	3
Hieracium murorum	+	.	.	+	+	.	2
Knautia drymeia subsp. centrifrons	.	.	+	+	.	.	2
Potentilla micrantha	.	.	+	+	2
Silene viridiflora	+	.	+	2
Melittis melissophyllum subsp. melissophyllum	+	1
Poa nemoralis subsp. nemoralis	2	.	.	1
Compagne											
Crataegus monogyna	+	+	1	1	.	1	1	1	1	+	9
Fragaria vesca subsp. vesca	+	+	+	+	.	+	+	.	+	+	8
Clematis vitalba	.	+	.	1	+	+	.	1	1	+	7
Astragalus glycyphyllos	.	+	.	+	+	+	.	.	+	+	6
Ajuga reptans	.	.	+	+	+	+	1	.	.	+	6
Erica arborea	+	+	+	+	+	5
Pteridium aquilinum subsp. aquilinum	+	+	+	+	+	5
Juniperus communis subsp. communis	+	.	+	.	.	+	.	.	+	+	5
Peucedanum verticillare	+	+	.	.	+	+	4
Carex flacca subsp. flacca	+	+	2	+	.	.	4
Sporadiche											
	1	0	1	0	0	3	7	4	13	4	

prevalentemente settentrionale (da est a ovest-nord-ovest) e acclività compresa tra 15 e 30°, in una fascia altimetrica posta tra 750-800 e 950-1000 m.

La fisionomia è caratterizzata da: *Quercus cerris*, *Ostrya carpinifolia* con *Fagus sylvatica* subsp. *sylvatica* e *Acer opalus* subsp. *obtusatum* tra gli alberi; *Crataegus monogyna*, *C. laevigata*, *Carpinus betulus*, *Rosa arvensis* e *Laburnum anagyroides* subsp. *anagyroides* fra gli arbusti; *Hedera helix* subsp. *helix*, *Festuca heterophylla*, *Luzula forsteri*, *Artemisia agrimonoides* subsp. *agrimonoides* e *Viola odorata* negli strati lianoso ed erbaceo.

Le particolari connotazioni fisionomico-strutturale e floristica permettono di inquadrare questi boschi nell'*Aceri obtusati-Quercetum cerridis fagetosum sylvaticae* descritto per il Monte San Vicino (Marche centrali) da Allegrezza (2003).

Rispetto a quanto descritto per i contrafforti del Monte San Vicino, nell'area di studio delle Marche meridionali la presenza di *Castanea sativa* (forse relitto, come in altre situazioni forestali con modesta presenza di *Castanea sativa*, di precedenti colture castanili abbandonate da decenni) e *Viola odorata* permette il riconoscimento di una nuova variante denominata *Aceri obtusati-Quercetum cerridis fagetosum sylvaticae* var. a *Castanea sativa*, differenziata, appunto, da *Castanea sativa* e *Viola odorata*.

SOLIDAGINI-FAGETUM SYLVATICAЕ (Longhitano et Ronsisvalle 1974) Ubaldi *et al.* 1987 ex Ubaldi 1995
MOEHRINGIETOSUM TRINERVIAE (Longhitano et Ronsisvalle 1974) Ubaldi *et al.* 1987 ex Ubaldi 1995 (Gruppo Ia^I Tab. 11, rill. 1-8, *holotypus* ril. 5, Tab. 2 in Longhitano et Ronsisvalle, 1974)

LUZULETOSUM SYLVATICAЕ subass. nova

(Gruppo Ia^{II} Tab. 11, rill. 9-18, *holotypus* ril. 15)

ACERETOSUM PSEUDOPLATANI subass. nova

(Gruppo Ia^{II} Tab. 11, rill. 19-21, *holotypus* ril. 21)

Bosco a dominanza di *Fagus sylvatica* subsp. *sylvatica*, governato a ceduo matricinato o fustaia, diffuso su versanti con esposizione settentrionale (da est a ovest-nord-ovest) e acclività compresa tra 10 a 70°, in una fascia altimetrica posta tra 850-900 e 1500 m.

La fisionomia è caratterizzata da: *Fagus sylvatica* subsp. *sylvatica* tra gli alberi; *Ilex aquifolium*, *Laburnum anagyroides* subsp. *anagyroides*, *Euonymus latifolius*, talvolta con *Ruscus hypoglossum* e *Vaccinium myrtillus*, fra gli arbusti; *Viola reichenbachiana*, *Galium odoratum*, *Lactuca muralis* e *Sanicula europaea* nello strato erbaceo.

Come evidenziato dalla cluster di figura 2 i faggeti rilevati sono suddivisi in 4 grappoli ognuno dei quali racchiude un gruppo di rilievi contraddistinto da una peculiare connotazione ecologica e floristica.

Sui versanti posti tra 1200 e 1450 m si sviluppa la

Daphne laureola	+	+	.	+	+	+	+	+	.	+	+	.	.	+	+	.	.	.	+	+	13	
Melica uniflora	.	.	+	.	+	+	.	+	.	+	.	.	+	.	+	.	+	1	+	+	1	12
Ilex aquifolium	.	.	.	+	+	2	1	+	.	+	+	.	+	1	1	1	+	12
Laburnum anagyroides subsp. anagyroides	+	2	.	.	+	.	+	+	1	1	1	+	.	+	+	11	
Hedera helix subsp. helix	.	.	+	+	.	1	.	+	+	+	.	.	+	+	+	1	10	
Acer opalus subsp. obtusatum	.	.	.	+	.	.	.	1	+	+	.	+	.	1	1	1	.	1	1	1	10	
Castanea sativa	.	.	2	.	.	+	.	1	2	1	1	2	+	.	1	9	
Euonymus latifolius	.	.	.	+	+	+	+	+	+	.	.	+	+	1	9	.	.	
Brachypodium sylvaticum subsp. sylvaticum	+	+	+	+	+	+	+	+	7	.	
Primula vulgaris subsp. vulgaris	+	.	.	+	+	+	+	+	.	.	+	.	.	.	+	7	.	
Poa nemoralis subsp. nemoralis	.	+	+	+	+	+	+	+	+	+	+	+	6	
Tamus communis	.	.	.	+	.	.	.	+	+	+	+	5	.	
Cruciata glabra subsp. glabra	+	+	+	+	+	.	.	+	5	.	
Cyclamen hederifolium subsp. hederifolium	+	.	.	+	.	+	.	.	+	1	5	.		
Cyclamen repandum subsp. repandum	.	.	.	+	+	.	1	+	4	.	
Potentilla micrantha	+	.	.	+	.	.	.	+	+	4	
Ostrya carpinifolia	+	.	.	+	1	+	.	.	.	4	
Quercus petraea subsp. petraea	1	1	1	3	
Fraxinus ornus subsp. ornus	+	.	.	.	1	1	3	
Viola alba subsp. dehnhardtii	+	.	.	+	2	
Lathyrus venetus	+	+	2	
Polystichum aculeatum	+	1	
Lilium bulbiferum subsp. croceum	+	.	.	•	1	
Cephalanthera damasonium	+	1	
Compagne																						
Pteridium aquilinum subsp. aquilinum	+	+	.	+	+	+	+	+	+	9	
Ajuga reptans	.	.	.	+	+	+	.	+	+	.	+	.	.	.	+	.	.	+	.	.	8	
Fragaria vesca subsp. vesca	.	+	.	+	.	.	+	+	.	+	.	+	5	
Emerus majus (s.l.)	+	.	+	.	+	+	+	+	+	4	
Digitalis lutea subsp. australis	.	+	.	+	.	+	.	•	.	•	•	•	•	•	•	•	3	
Sympyton tuberosum subsp. angustifolium	.	.	.	+	+	.	+	•	.	•	•	•	•	•	•	•	3	
Sporadiche	1	3	2	4	3	0	3	0	0	0	1	1	0	0	0	0	0	1	0	0	1	1

subassociazione tipica *Solidagini-Fagetum sylvaticae moehringietosum trinerviae* che predilige esposizioni decisamente settentrionali (Ubaldi, 1988) e inclinazione compresa fra 15 e 40°.

Sui versanti posti tra 900 e 1200 m di quota e inclinazione compresa fra 10 e 40° si sviluppano, invece, dei faggeti con *Castanea sativa*, *Luzula sylvatica* subsp. *sylvatica* e *L. forsteri*, caratterizzati anche da una modesta diminuzione degli elementi dei *Fagetales* *sylvaticae* nello strato erbaceo. Questa particolare connotazione floristico-ecologica permette di descrivere la nuova subassociazione *Solidagini-Fagetum sylvaticae luzuletosum sylvaticae* differenziata da *Luzula sylvatica* subsp. *sylvatica*, *L. forsteri* ed *Hepatica nobilis*. Si tratta di un *syntaxon* che esprime la transizione e quindi il contatto catenale con gli ostrieti alto-collinari dello *Hieracio murori-Ostryetum carpinifoliae fagetosum sylvaticae* e con gli ostiocerreti dell'*Aceri obtusati-Quercetum cerridis fagetosum sylvaticae*.

Sui versanti posti tra 1000 e 1200 m, con esposizioni settentrionali, nord-occidentali e nord-orientali e inclinazione compresa fra 50 e 70° (prevolentemente in condizioni morfologiche di leggero impluvio in ambiti con diffusa rocciosità affiorante) si sviluppano, invece, dei faggeti con *Acer pseudoplatanus*, *Acer platanoides*, *Tilia plathyphyllos* subsp. *plathyphyllos* e *Ulmus glabra*. Questa particolare connotazione floristico-ecologica

permette di descrivere la nuova subassociazione e *Solidagini-Fagetum sylvaticae aceretosum pseudoplatani* differenziata da *Acer pseudoplatanus*, *A. platanoides*, *Ulmus glabra* e *Tilia plathyphyllos* subsp. *plathyphyllos*. Si tratta di un *syntaxon* che sembra mostrare una forte somiglianza con i boschi descritti da Pedrotti (1982) per il complesso dei Monti della Laga (Valle del Rio Castellano) e attribuiti all'associazione *Aceri-Ulmetum montanae* che alla luce del presente studio potrebbero essere ricondotti al *Solidagini-Fagetum sylvaticae aceretosum pseudoplatani*. Ulteriori indagini in tal senso saranno tuttavia necessarie per definire con chiarezza questo aspetto.

Il confronto degli spettri corologici (Fig. 10) ribadisce le differenze tra i sopraelencati *syntaxa* con una riduzione degli elementi Mediterranei nel passaggio dalla subassociazione *Solidagini-Fagetum sylvaticae luzuletosum sylvaticae* (18%) al *Solidagini-Fagetum sylvaticae moehringietosum trinerviae* (15%, a cui si accompagna un diverso rapporto di abbondanza Boreali/Euroasiatiche), fino al *Solidagini-Fagetum sylvaticae aceretosum pseudoplatani* (14%; inoltre, in questo *syntaxon* le Euroasiatiche raggiungono il valore più elevato).

L'analisi dei valori di bioindicazione (Tab. 5) evidenzia come il valore della mediana di T nella subassociazione *moehringietosum trinerviae* è pari a 5, mentre nelle altre due subassociazioni è leggermente più alto (5.2 e 5.4).

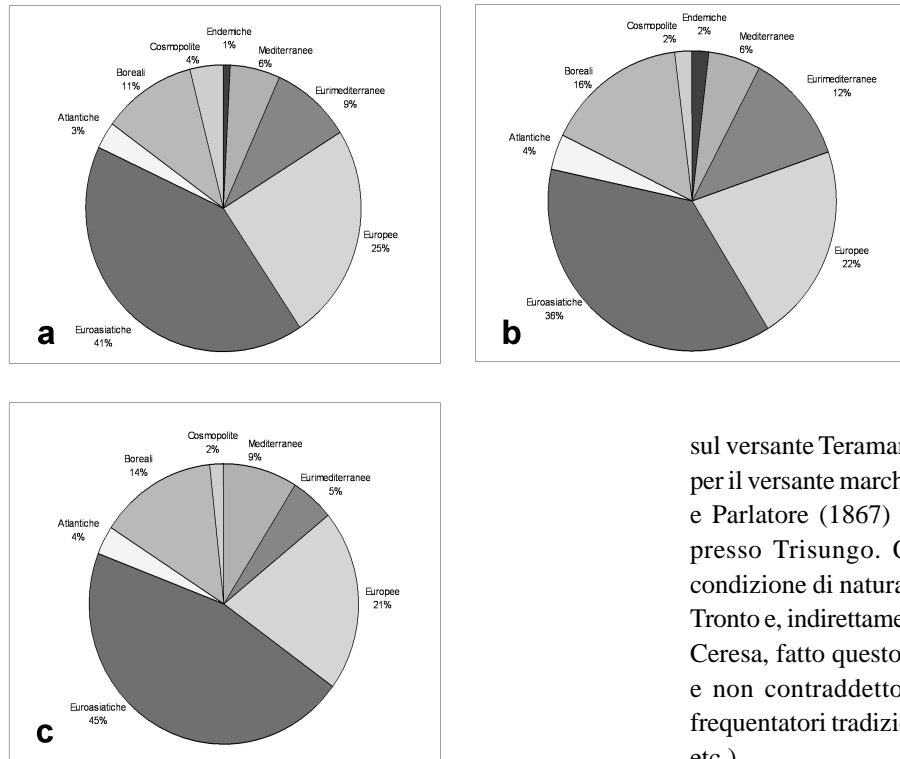


Fig. 10 - Spettro corologico del *Solidagini-Fagetum sylvaticae*: a - *Solidagini-Fagetum sylvaticae moehringietosum trinerviae*; b - *Solidagini-Fagetum sylvaticae luzuletosum sylvaticae*; c - *Solidagini-Fagetum sylvaticae aceretosum obtusati*

sul versante Teramano (presso Cortino); lo stesso dicasi per il versante marchigiano per il quale Bertoloni (1854) e Parlatore (1867) indicano la specie come presente presso Trisungo. Queste citazioni testimoniano la condizione di naturalità della betulla nell'alta Valle del Tronto e, indirettamente, anche per la stazione del Monte Ceresa, fatto questo supposto anche in I.P.L.A. (2001) e non contraddetto dalle risposte a quesiti posti ai frequentatori tradizionali del luogo (forestali, boscaioli, etc.).

Aggruppamento a *POPULUS TREMULA* L.

(Gruppo II Tab. 13, rill. 1-4)

Si tratta di boscaglie a dominanza di *Betula pendula*, non soggette ad alcuna forma di governo forestale, rinvenute sulla testata di alcuni valloni che solcano i versanti sommitali del gruppo del Monte Ceresa. Il corteggiò foristico del sottobosco è quello tipico delle fitocenosi del *Tilio plathiphylli-Acerion pseudoplatani* (Paura & Cutini, 2006). Tuttavia, la scarsa ampiezza e la concentrazione di queste boscaglie in un solo luogo ci fanno ritenere non opportuno un loro inquadramento sintassonomico a livello di associazione. Dal punto di vista distributivo ed ecologico, i betuleti rilevati sembrano prefigurarsi come formazioni di suturazione di antiche radure formatesi in ambito di faggeta a seguito dei ripetuti schianti causati da radicamento su suoli poco profondi impostati su versanti con giacitura rocciosa a franapoggio ed elevata accività. La notevole copertura di *Rubus hirtus* indica, inoltre, il verificarsi di condizioni di buona luminosità e di abbondanza di azoto nel suolo oltre al ripetersi di condizioni di disturbo della comunità vegetale.

Deve essere ricordato che boscaglie a dominanza di *Betula pendula* sono state in passato descritte anche per i contermini Monti della Laga (Plini & Tondi, 1989) relativamente al versante laziale (Amatrice), mentre secondo Crugnola (1900) la specie era presente anche

Il corteggiò foristico del sottobosco è quello tipico delle fitocenosi del *Corylo-Populinum tremuli*. Tuttavia, il piccolo numero di rilievi ci fa ritenere non opportuno un loro inquadramento sintassonomico a livello di associazione. La notevole copertura di *Brachypodium rupestre* indica, inoltre, una fase molto precoce nelle tappe successionali che da praterie arbustate conducono alla costituzione di formazioni preforestali prima e forestali poi.

Deve essere ricordato che boschi di *Populus tremula*

sono già stati descritti per l'Appennino centrale (I.P.L.A., 2001), in particolare nei settori montani della Laga e della fascia pedemontana dei Monti Sibillini (Pedrotti, 1995), nonché per il complesso del Monte dell'Ascensione (Taffetani, 2000).

Tali citazioni fanno riferimento alle associazioni

Melico uniflorae-Populetum tremuli Pedrotti 1995 e

Fraxino orni-Populetum tremuli Taffetani 2000;

l'aggruppamento qui descritto sebra presentare

caratteristiche maggiormente affini al *Melico uniflorae-Populetum tremuli*.

Aggruppamento a *BETULA PENDULA* Roth (Gruppo Ia^{III} Tab. 12, rill. 1-4)

Si tratta di boscaglie a dominanza di *Betula pendula*, non soggette ad alcuna forma di governo forestale, rinvenute sulla testata di alcuni valloni che solcano i versanti sommitali del gruppo del Monte Ceresa. Il corteggiò foristico del sottobosco è quello tipico delle fitocenosi del *Tilio plathiphylli-Acerion pseudoplatani* (Paura & Cutini, 2006). Tuttavia, la scarsa ampiezza e la concentrazione di queste boscaglie in un solo luogo ci fanno ritenere non opportuno un loro inquadramento sintassonomico a livello di associazione. Dal punto di vista distributivo ed ecologico, i betuleti rilevati sembrano prefigurarsi come formazioni di suturazione di antiche radure formatesi in ambito di faggeta a seguito dei ripetuti schianti causati da radicamento su suoli poco profondi impostati su versanti con giacitura rocciosa a franapoggio ed elevata accività. La notevole copertura di *Rubus hirtus* indica, inoltre, il verificarsi di condizioni di buona luminosità e di abbondanza di azoto nel suolo oltre al ripetersi di condizioni di disturbo della comunità vegetale.

Deve essere ricordato che boscaglie a dominanza di *Betula pendula* sono state in passato descritte anche per i contermini Monti della Laga (Plini & Tondi, 1989) relativamente al versante laziale (Amatrice), mentre secondo Crugnola (1900) la specie era presente anche

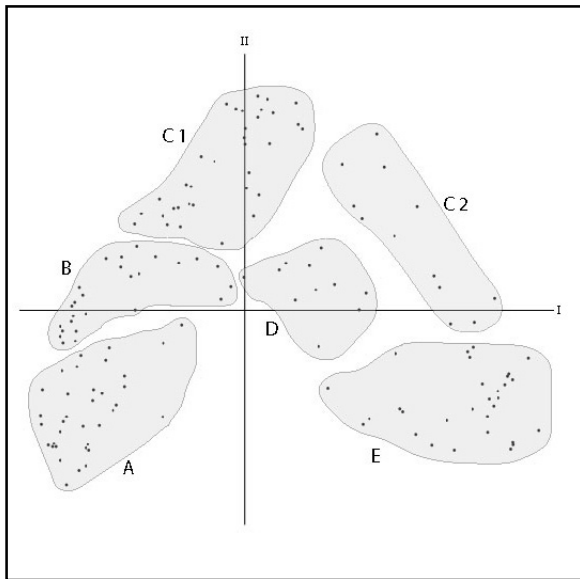


Fig. 11 – PCoA realizzata con il dato floristico ottenuto dai rilievi fitosociologici.

A – Boschi di *Quercus pubescens* (s.l.) (*Roso sempervirentis-Quercetum pubescentis ericetosum arboreae* ed *Erico arboreae-Quercetum pubescentis ericetosum arboreae*); B – Boschi di *Ostrya carpinifolia* (*Hieracio murori-Ostryetum carpinifoliae hieracietosum murori*); C 1 e C 2 – Boschi di *Castanea sativa* (C 1 -*Cyclamino hederifolii-Castaneetum sativae teucrietosum siculi* e var. a *Carpinus orientalis* subsp. *orientalis*; C 2 - *Cyclamino hederifolii-Castaneetum sativae fagetosum sylvaticae*); D – Boschi di *Quercus cerris* (*Aceri obtusati-Quercetum cerridis fagetosum sylvaticae*); E – Boschi di *Fagus sylvatica* subsp. *sylvatica* e boscaglie di *Betula pendula* e *Populus tremula* (*Solidagini-Fagetum sylvaticae moehringietosum trinerviae*, *Solidagini-Fagetum sylvaticae aceretosum pseudoplatani*, *Solidagini-Fagetum sylvaticae luzuletosum sylvaticae*; aggr. a *Betula pendula*; aggr. a *Populus tremula*)

Caratterizzazione sin-ecologica

L’elaborazione della PCoA basata sul dato floristico, proveniente dai rilievi fitosociologici (Fig. 11), mostra una distribuzione di questi ultimi che, se da un lato riconferma quella ottenuta mediante la “cluster analysis”, dall’altro permette di effettuare una prima definizione ecologica dei *syntaxa* studiati. Infatti, la disposizione dei rilievi lungo l’asse delle ascisse (che spiega il 21% della variabilità totale) ordina i gruppi di rilievi secondo la seguente successione: querceti di roverella (*Roso sempervirentis-Quercetum pubescentis ericetosum arboreae*, *Erico arboreae-Quercetum pubescentis*), ostrieti (*Hieracio murori-Ostryetum carpinifoliae*), castagneti con *Ostrya carpinifolia* (*Cyclamino hederifolii-Castaneetum sativae teucrietosum siculi*),

ostrio-cerreti (*Aceri obtusati-Quercetum cerridis fagetosum sylvaticae*), castagneti con faggio (*Cyclamino hederifolii-Castaneetum sativae fagetosum sylvaticae*) e faggeti (*Solidagini-Fagetum sylvaticae*). Questa distribuzione sembra essere correlabile con un progressivo aumento della mesofilia dei *syntaxa* che in termini floristici si esprime con una diversa composizione dello spettro corologico (Fig. 12); esso, infatti, si presenta assai ricco di elementi Mediterranei (48%) nei querceti del *Roso sempervirentis-Quercetum pubescentis*; tali elementi scendono sotto il 30% nei boschi dell’*Erico scopariae-Quercetum pubescentis* e dello *Hieracio murori-Ostryetum carpinifoliae* (quest’ultimo si differenzia dai querceti per una maggior presenza di elementi Boreali ed Euroasiatici) e si riduce a meno del 20% nei castagneti e nei boschi dell’*Aceri obtusati-Quercetum cerridis*, fino a scendere a meno del 15% nel *Solidagini-Fagetum sylvaticae*. Al contrario, le specie Boreali ed Eurasiatriche presentano un andamento opposto.

La disposizione (dal basso verso l’alto) dei rilievi lungo l’asse delle Y mostra, invece, la seguente successione: querceti di roverella (*Roso sempervirentis-Quercetum pubescentis ericetosum arboreae*, *Erico arboreae-Quercetum pubescentis*), faggeti (*Solidagini-Fagetum sylvaticae*), ostrieti (*Hieracio racemosi-Ostryetum carpinifoliae*) ostrio-cerreti (*Aceri obtusati-Quercetum cerridis fagetosum sylvaticae*) e castagneti (*Cyclamino hederifolii-Castaneetum sativae*). La comprensione della disposizione dei rilievi lungo l’asse delle ordinate (che spiega il 16% della variabilità totale) è, dunque, meno immediata.

Al fine di una caratterizzazione ecologica dei suddetti gradienti è utile anche il dato che emerge dalla PCoA (Fig. 13) realizzata utilizzando i dati stazionali (esposizione, inclinazione, altitudine e morfologia del versante). Essa evidenzia, infatti, una distribuzione dei rilievi che sostanzialmente ripete quanto evidenziato con la PCoA dei rilievi fitosociologici; in questo grafico, infatti, i rilievi sono divisi in due grandi gruppi collocati nei quadranti di sinistra (ostrieti, querceti, ostrio-cerreti e castagneti) e in quelli di destra (querceti e una parte dei faggeti). Dall’analisi dei dati stazionali riportati nella matrice si evince come lungo l’asse delle ascisse si manifesti un gradiente relativo al fattore esposizione (che procedendo da sinistra verso destra passa da marcatamente settentrionale a marcatamente meridionale). Lungo l’asse delle Y si manifesta,

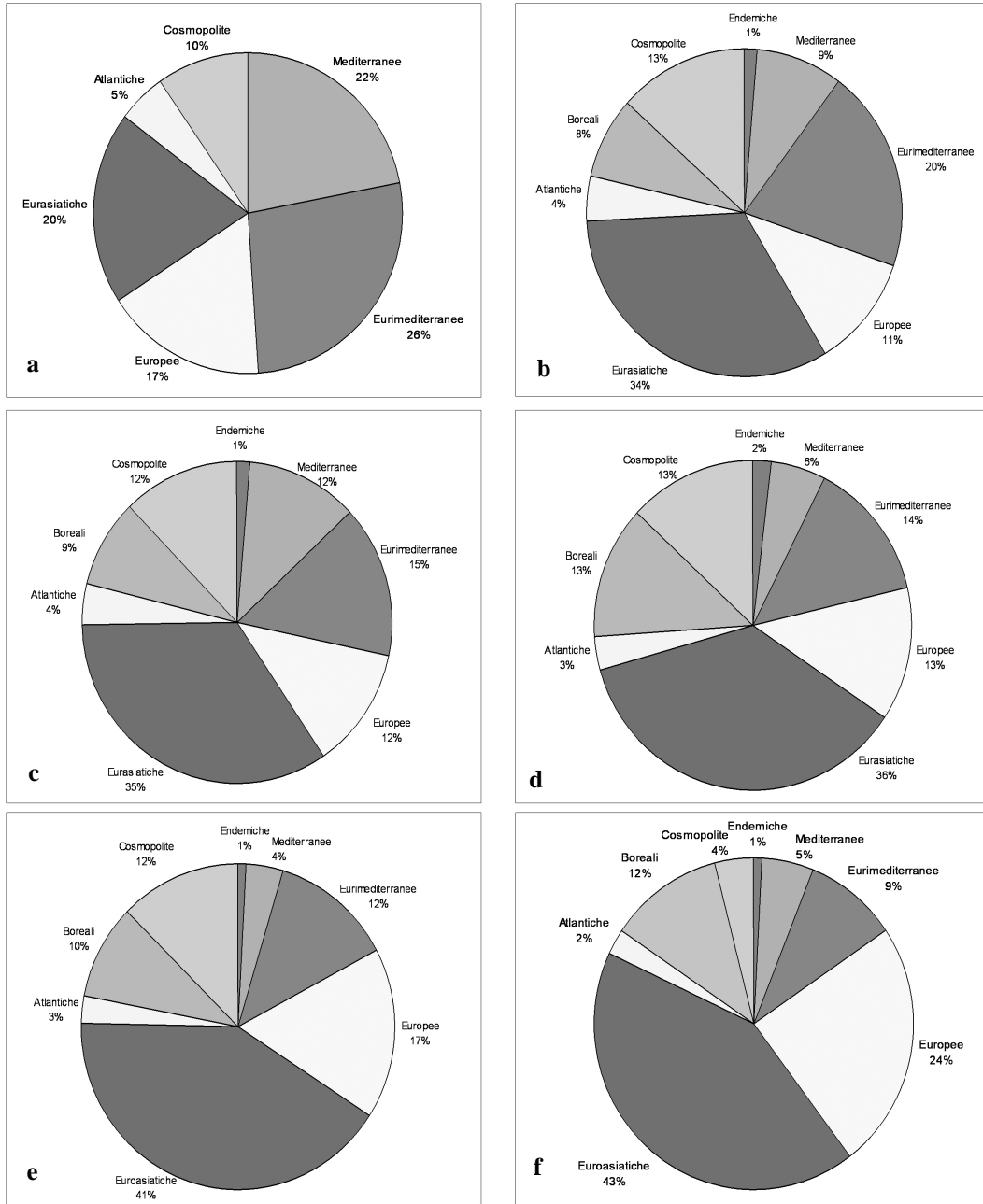


Fig. 12 – Spettri corologici delle associazioni rilevate (derivate dalla media di tutte le subassociazioni e le varianti individuate); a – *Roso sempervirentis-Quercetum pubescens*; b – *Erico arboreae-Quercetum pubescens*; c – *Hieracium murori-Ostryetum carpinifoliae*; d - *Cyclamino hederifolii-Castaneetum sativae*; e – *Aceri obtusati-Quercetum cerridis*; f - *Solidagini-Fagetum sylvaticae*

morfologia del versante a svolgere un ruolo centrale determinando (per le correlate differenze di profondità e struttura del suolo a loro volta esprimibili in termini ecologici con una differente AWC e quantità di nutrienti) la distribuzione e le caratteristiche floristiche dei *syntaxa* di rango inferiore

all’associazione. A questo livello potrebbero agire anche le differenze petrografiche (legate all’affioramento, ad esempio di arenarie pure o di arenarie con intercalazioni pelitiche) che possono influenzare il pH del suolo e la sua tessitura (con un ulteriore effetto sull’AWC).

